

# CELULOZĂ SI HÂRTIE

VOL. 62

NO. 4/2013

## MANAGEMENT BOARD

G. Balogh, M. Botez, Eng. D. Buteică (Chairman), C-tin Chiriac (Vicechairman), Gh.Benea, R. Crăciun, T. Câmpean, B. Dobbelaere, S.T. Eryurek, C. Ferrero, C. Indreica, A. Itu, P.H. Kohler, A.Oncioiu, F. Smaranda, G. Stanciu, V. Sărac, A. Vais

### CUPRINS

### CONTENTS

MILORAD KRGOVIC, VLADIMIR VALENT, SRECKO NIKOLIC, MARINA KRSIKAPA, ZELJKO KNEZEVIC, RADE KNEZEVIC, DUSKO KNEZEVIC, RAJKO STANISAVIC, MIJODRAG MILOJEVIC	3	MILORAD KRGOVIC, VLADIMIR VALENT, SRECKO NIKOLIC, MARINA KRSIKAPA, ZELJKO KNEZEVIC, RADE KNEZEVIC, DUSKO KNEZEVIC, RAJKO STANISAVIC, MIJODRAG MILOJEVIC	3
<i>Economisirea energiei, îmbunătățirea capacității de producție și a calității hârtiei prin reorganizarea mașinii de hârtie</i>		<i>Energy saving, increasing production capacity and quality of the paper by reconstruction of paper machines</i>	
DAN BUTEICĂ, CONSTANTIN CONSTANTIN, ALINA MOACĂ, OANA MARINICA, VLAD SOCOLIUC	27	DAN BUTEICĂ, CONSTANTIN CONSTANTIN, ALINA MOACĂ, OANA MARINICA, VLAD SOCOLIUC	27
<i>Hârtie cu nanoparticule magnetice</i>		<i>Paper loaded with magnetic nanoparticles</i>	
ANDREEA ELIZA FARKAȘ, DAN SCUTARU, DORU NECULAI MIRON, ANA MARIA ROȘU, RAMONA MIHAELA ZAVADA, ILEANA DENISA NISTOR	37	ANDREEA ELIZA FARKAȘ, DAN SCUTARU, DORU NECULAI MIRON, ANA MARIA ROȘU, RAMONA MIHAELA ZAVADA, ILEANA DENISA NISTOR	37
<i>Polizaharide utilizate pentru decontaminarea apei</i>		<i>Polysaccharides utilization for water decontamination</i>	
DAN BUTEICĂ, MARICICA BURLACU, CONSTANTIN CONSTANTIN	43	DAN BUTEICĂ, MARICICA BURLACU, CONSTANTIN CONSTANTIN	43
<i>Securizarea hârtiei cu microparticule de tip Metal/TiO<sub>2</sub></i>		<i>Paper securing with Metal/TiO<sub>2</sub> microparticles</i>	
APARIȚII EDITORIALE	51	BOOK REVIEW	51

**Quarterly journal edited by THE TECHNICAL ASSOCIATION FOR ROMANIAN PULP AND PAPER INDUSTRY and PULP AND PAPER R&D INSTITUTE – SC CEPROHART SA – Brăila, Romania**

**Sponsored by THE ROMANIAN OWNERSHIP OF PULP AND PAPER INDUSTRY**

**ISSN: 1220 - 9848**

---

**EDITORIAL STAFF**

---

**Angels Pelach** - University of Girona, Spain

**Branka Lozo** - Faculty of Graphic Arts, University of Zagreb, Croatia

**Naceur Belgacem** - INP- Pagora Grenoble, France

**Ivo Valchev** - University of Chemical Technology & Metallurgy, Sofia, Bulgaria

**Elena Bobu** - “Gheorghe Asachi” Technical University of Iași, Romania

**Dan Gavrilescu** - “Gheorghe Asachi” Technical University of Iași, Romania (*Editor*)

**Paul Obrocea** - “Gheorghe Asachi” Technical University of Iași, Romania

**Valentin I. Popa** - “Gheorghe Asachi” Technical University of Iași, Romania

**Emanuel Poppel** - “Gheorghe Asachi” Technical University of Iași, Romania

**Teodor Măluțan** - “Gheorghe Asachi” Technical University of Iași, Romania

**Florin Ciolacu** - “Gheorghe Asachi” Technical University of Iasi, Romania

**Petronela Nechita** - Pulp and Paper Research and Development Institute - SC CEPROHART SA, Brăila, Romania (*Deputy Editor*)

**Daniela Manea** – Pulp and Paper Research and Development Institute - SC CEPROHART SA, Brăila, Romania

**Eva Cristian** – Pulp and Paper Research and Development Institute - SC CEPROHART SA, Brăila, Romania

**Nicoleta Gherghe** – SC VRANCART SA Adjud, Romania

**Mihai Banu** - SC AMBRO SA, Suceava, Romania

---

The foreign readers may subscribe by TECHNICAL ASSOCIATION FOR ROMANIAN PULP AND PAPER INDUSTRY, (ATICHR), Walter Mărăcineanu Square no.1-3, Entry 2, Fl. 2, Room 177-178, Land 1, Bucharest, RO-78101, phone: + 40 21 315 01 62, + 40 21 315 01 75. Fax: +40 21 315 00 27. E-mail: rompap@pcnet.ro ; rompap@msn.com

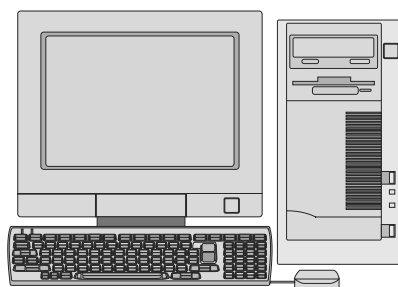
---

The articles, information, advertising can be sent on “CELULOZĂ ȘI HÂRTIE” editorial office address: A.I.Cuza Blvd, no.3, 810019, Braila, Romania, phone: +40 239 619 741, fax: +40 239 680 280, e-mail: [petronela.nechita@ceprohart.ro](mailto:petronela.nechita@ceprohart.ro), or Walter Mărăcineanu Square, no. 1-3, land 1, Bucharest, phone: + 40 21 315 01 62, + 40 21 315 01 75

---

Aknowledged in Romania, in the Polymer Materials Sciences field, by the **National Council of the Scientific Research from the Higher Education** (CNCSIS), C group. **Indexed in PaperBase Abstracts, PIRA International** ([www.paperbase.org](http://www.paperbase.org), [www.piranet.com](http://www.piranet.com))

---



## ENERGY SAVING, INCREASING PRODUCTION CAPACITY AND QUALITY OF THE PAPER BY RECONSTRUCTION OF PAPER MACHINES

Milorad Krgovic<sup>\*)</sup>, Vladimir Valent<sup>\*)</sup>, Srecko Nikolic<sup>\*)</sup>, Marina Krsikapa<sup>\*)</sup>;  
Zeljko Knezevic<sup>\*\*)</sup>, Rade Knezevic<sup>\*\*)</sup>, Dusko Knezevic<sup>\*\*)</sup>, Rajko Stanisavic<sup>\*\*)</sup>;  
Mijodrag Milojevic<sup>\*\*\*)</sup>

<sup>\*)</sup>*Faculty of Technology and Metallurgy, Center for Pulp, Paper, Packaging and Graphics, Belgrade, Serbia;*

<sup>\*\*)</sup>*Paper and Cardboard Packaging „LEPENKA” D.O.O., Novi Knezevac;*

<sup>\*\*\*)</sup>*Kappa Star Group, Belgrade;*

Author correspondence: *Faculty of Technology and Metallurgy, Center for Pulp, Paper, Packaging and Graphics, Belgrade, Serbia, [m.krgovic@gmail.com](mailto:m.krgovic@gmail.com)*

### Abstract

Work is dealing with thermodynamic and hydrodynamic phenomena in paper production process in correlation with practical results obtained after reconstructions of commercial paper machines, in areas of constant part, press part and drying part. Here are shown present condition and condition after reconstruction of constant part, press part and steam condensing system. Also, the effects of the reconstruction of these three systems on paper machine are estimated from the point of energy saving, paper machine productivity and increasing of production capacity. Obtained results prove that with relatively small investment great effects are achieved, and the investment is returned in few months, up to a year.

**Keywords:** Constant part, Press part, Steam condensation system, Syphons, Line pressure, Energy saving

### Rezumat

În lucrare sunt prezentate fenomenele termodinamice în procesul de producție a hârtiei în corelație cu rezultatele practice obținute după reorganizarea unei mașini de hârtie în partea preselor și partea uscătoare. Sunt prezentate rezultate comparative între starea actuală și situația după reorganizarea părții constante a mașinii de hârtie, având în vedere economia de energie, productivitatea mașinii de hârtie și creșterea capacității de producție. Rezultatele obținute demonstrează faptul că, cu investiții relativ mici, se realizează efecte mari, iar investiția se recuperează în câteva luni, maxim un an.

**Cuvinte cheie:** Partea constantă, Partea preseii, Sistem de condensare abur, Economisirea energiei

## I. INTRODUCTION

The purpose of this work is to show possibility of reconstruction of paper machines with relatively small investment and notable effects in energy saving, increase of production capacity and paper quality. The results shown in this work are verified both by investors and

engineers-authors of the work. The value of the work is its approach, starting from theoretic phenomena and laws and anticipating outcome of the reconstruction, which is verified through operational realization of project: from the value of investment to savings anticipated by given projects.

**1. RECONSTRUCTION OF CONSTANT PART OF PM IN PAPER AND CARDBOARD PACKAGING FACTORY „LEPENKA“ NOVI KNEZEVAC**

**1.1. THEORY OF FINE CLEANING OF PAPER PULP**

The purpose of the constant part of PM is reflected in following functions:

- removal of heavier, small impurities such as sand, glass, metal etc.,
- removal of lighter, small impurities such as crust, plastic, Styrofoam etc.,
- removal of the air from paper pulp,
- fine homogenization of paper pulp,
- acquiring stable, low concentration of paper pulp which is brought into feeding bed,
- removal of pulsations in the system for pulp feeding.

A number of devices are used for removal of previously stated impurities and execution of technology functions, such as:

- vertical sorters, having holes with size 1-2 mm and slits with size 0,10 to 0,25 mm,
- vacuum systems such as deculator and various types of pipe cleaners.

Figure 1 shows schematic diagram of stated devices, which are built in the modern constant part for paper production. This work will primarily deal with pipe cleaners, for they were main target of the reconstruction of PM in LEPENKA.

**Pipe cleaners – devices for fine filtering of paper pulp on constant part**

Purpose of such devices is to perform fine cleaning of paper pulp of the sand, small plastic, hard parts etc. Various types of pipe cleaners are applied, giving various effects. Based on type and design of pipe cleaner there are variations in the effect of cleaning, pulp concentration, differential pressure (in-out), quantity of waste and electric power consumption of the pumps for pulp transport, figure 2.

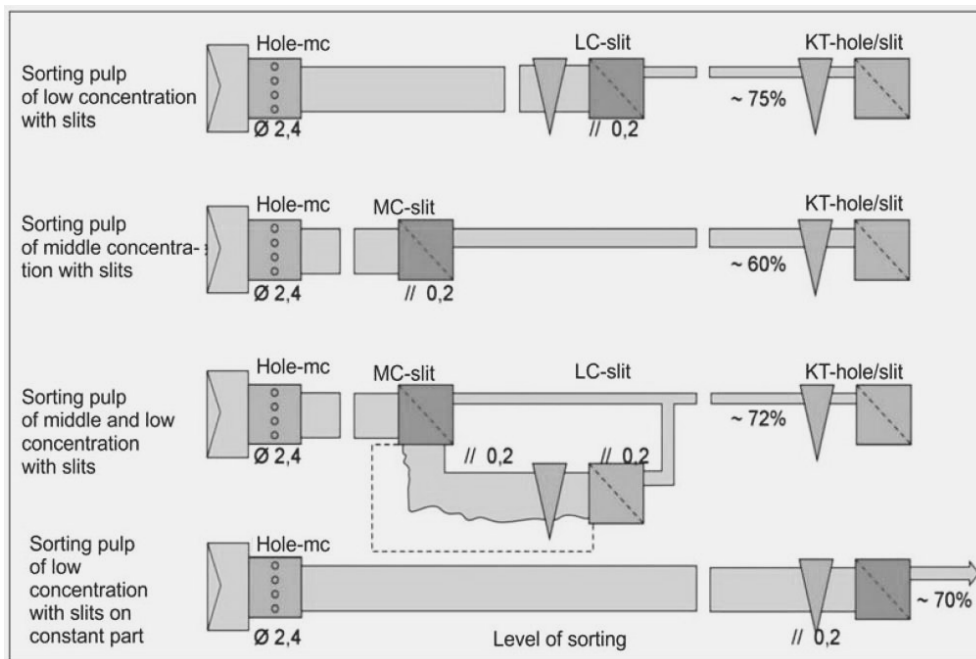


Fig. 1 Systems for filtering paper pulp for packaging paper

The working principle of pipe cleaners is shown in Figure 3. Paper pulp is fed tangentially into the head of pipe cleaner, with pressure of 2 to 4 Bar. Conical structure of pipe cleaner enables streaming of fed pulp under certain pressure and speed from head to the bottom of conical part of cleaner, where particles with greater specific weight are

separated by the centrifugal forces and gathered on to the sides of cleaner, leaving it through the aperture as a waste. At the same time vacuum is created in the central part, collecting lighter impurities and moving them to the top of a cleaner. Fine pulp is retained in the middle of pipe cleaner and comes out purified at the head of pipe cleaner.

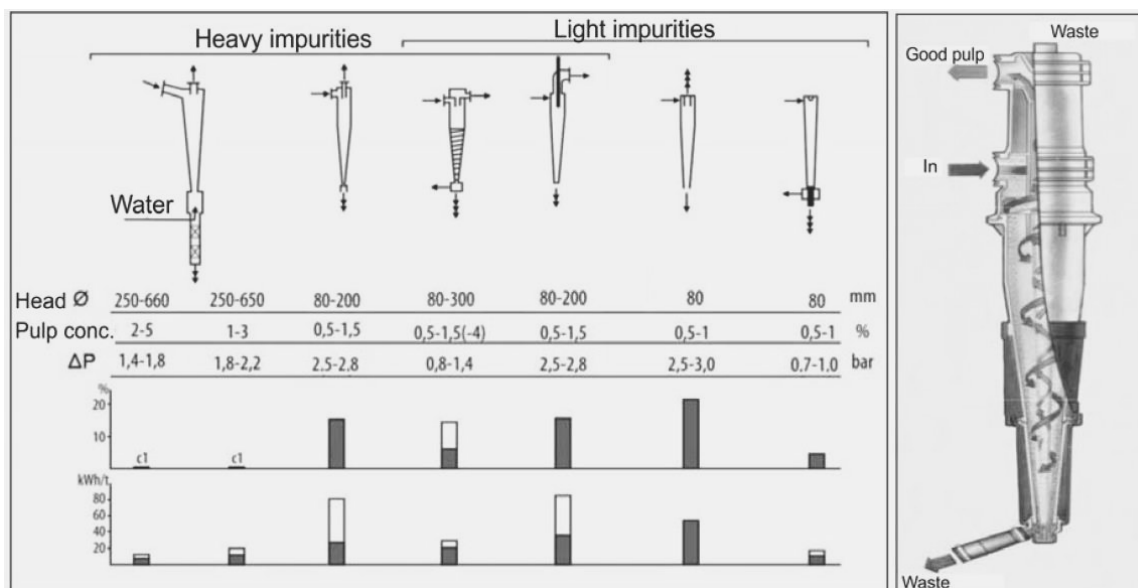


Fig. 2 Influence of the type of centricleaner on differential pressure, waste percentage and specific power consumption

Fig. 3 Working principle of pipe cleaner

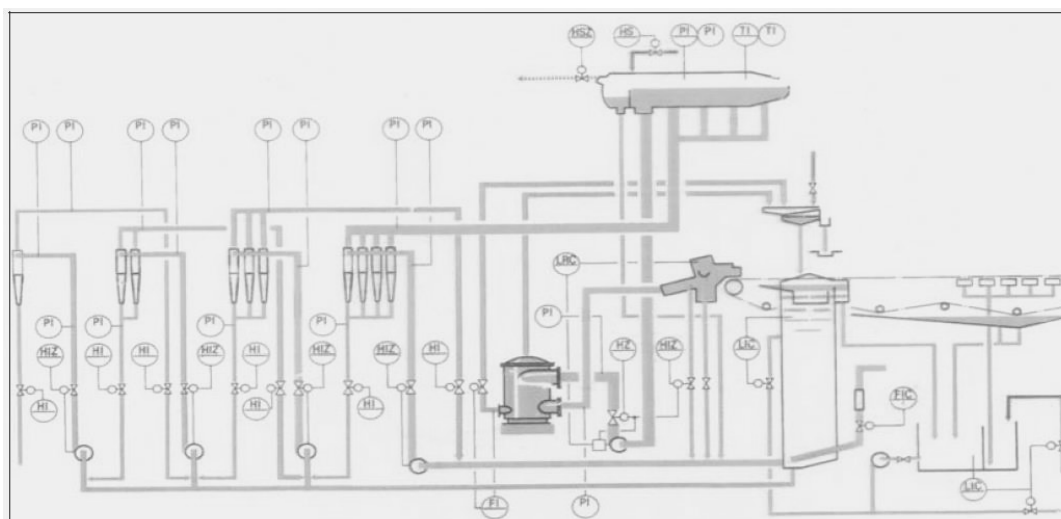


Fig. 4. Modern constant part with 4-level cleaning, deculator and two MIS pumps

## 1.2. HYDRO-DYNAMIC CALCULATION FOR CONSTANT PART OF PM

In order to correctly design constant part of PM, the following must be defined:

- PM capacity,
- paper sorts and weights,

In order to calculate pump capacity, engine power, diameter of pipes and necessary measuring and controlling devices, rigid standards must be applied, and such standards were honored here. In this work we will show part of reduced calculation which served as a basis for detailed designing:

- Working speed of PM,  $V = 250-300$  m/min

- all technical and technological properties defining optimal running of constant part,
- retention of pulp on sieve,
- working principle of feeding bed and quantity of overflow,
- circular direction of pulp in constant part: MIS PUMP – feeding – MIS pump,
- properties of sieve water.
- Projected speed,  $V_1 = 350$  m/min
- Width of sieve,  $S = 2.850$  mm
- Width of lane on roller,  $S_1 = 2.570$  mm
- Paper weight,  $g = 112$  g/m<sup>2</sup>
- Retention on sieve,  $R = 70$  %
- Daily production,  $q = 120$  t/24h or 5,18 t/h

Target quantity of approx. 120t/24h demands approx. 12.000 liters of paper pulp per minute, with concentration of 0,8%.

How did we get this information?

**Supply of pulp to the feeding bed**

Quantity of pulp supplied to the feeding bed, i.e. quantity of pulp circulating in constant part is calculated this way:

$$Q = S2 \cdot g \cdot R \cdot X \cdot V \cdot 60, \text{ lit/min}$$

where:

Q – quantity of pulp supplied to feeding system,

S2 – width of feeding opening, 2.750mm

g – paper weight, 112 g/m<sup>2</sup>

R – retention on sieve, 70%,

X – overflow and bypass in feeding system, 10% of total quantity of paper pulp,

V – working speed of PM, 300m/min

If we calculate with concentration of 0,8% in feeding system, then approx. 12.000 liters of paper pulp needs to be brought to feeding bed. Such quantity enables paper production of approx. 5,0t/h or 120 t/24h, giving net quantity of 100t/day..

In this calculation the standards for speed of fluids in pipelines from companies ANDRITZ AG, Graz and VOITH, St. Poelten, have been used, with following values:

- fresh water 3 to 3.5m/s,
- sieve water 2.5 to 3m/s,
- pulp with concentration up to 3% 1 to 2m/s
- pulp with concentration 3-5% 0.5 to 1m/s.
- pulp with concentration over 5% from 0.5m/s.

For the calculation of constant part, standards from company ANDRITZ AG – ESCHER WYSS for have been used for the assessment of pulp quantity in feeding bed, depending on sieve retention (Figure 5). Figure 6 shows the flow of paper pulp from feeding to roller, applied on PM in LEPENKA factory. Based on these standards and calculations constant part of PM in Lepenka was designed with precisely defined: properties of pumps, properties of engines, dimensions of pipeline, types of materials, number of pipe cleaners in 1st, 2<sup>nd</sup> and 3<sup>rd</sup> level of refining, properties of vacuum pump and properties of vertical sorters.

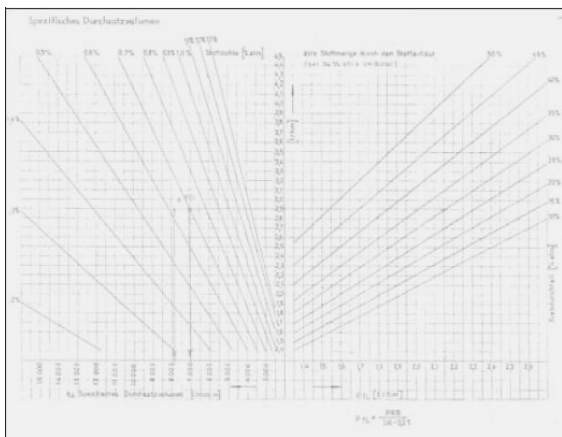


Fig.5 Standard of ANDRITZ – ESCHER WYSS: determining pulp quantity in feeding System

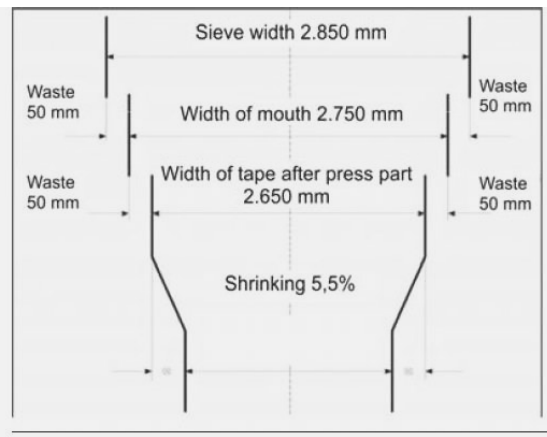


Fig. 6 Scheme of the flow of paper pulp in LEPENKA, from feeding system, through sieve, press and drying part to roller

**1.3. CONSTANT PART – EXISTING CONDITION**

Technological process of cleaning paper pulp in constant part of PM in LEPENKA proceeded as follows: paper pulp was transported from machine bed by the pump through regulator, with concentration of 3,5% into the leveling vessel. Next, pulp was transported by freefalling from the vessel to MIS pump over the regulation valve. Besides

pulp, used water from sieve water pool 1, as well as refined pulp from vibration sieve was also conducted to MIS pump. Existing condition of the constant part of PM is given in Figure 7.

Diagram shows that the existing system was simple and unable to entirely perform all technological functions, stated above. The devices in this system operated as follows:

- MIS PUMP, capacity 17.300 l/min, height of water column 29m and engine power of

160kW, transported paper pulp with low concentration of 0.7-1.3%, through pipe cleaners with single level of cleaning, type BC, to vertical sorter and then into feeding bed;

- PIPE CLEANERS were technically designed to remove sand and heavier particles from paper pulp, but lighter particles remained in it;
- VERTICAL SORTERS, equipped with sieve holes 2.0mm large and rotor with 2 propellers, did not optimally clean paper pulp in this position, and rotor induced pulsations with amplitude up to 15mbar.

This had a negative impact on paper quality and deviation of weight in longitudinal direction.

*Deficiencies of existing constant part were following:*

- Poor cleaning of paper pulp, resulting in retaining light impurities, sand, glass etc. in paper.
- Poor visual appearance of paper,
- Inadequate quality of paper,
- Deviation of paper weight.

the recommendation was to install in this position modern vertical sorters with 6 or 8 propellers or with drum and sieve having perforations with slit dimensions 0.15-0.25mm or holes 1.2mm large, because those would perform optimal cleaning and amplitudes would not surpass value greater than 2.5mbar.

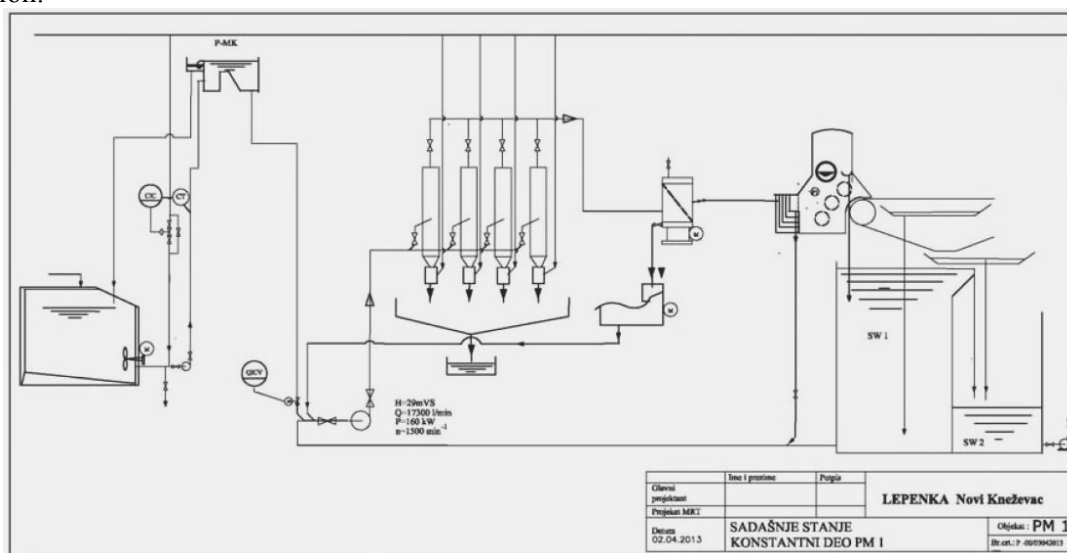


Fig. 7 Present condition of constant part

#### 1.4. CONSTANT PART AFTER RECONSTRUCTION

After comprehensive analysis and studying knowledge in this field, three variants of constant part have been created, as follows:

1. variant with four levels of cleaning and two MIS pumps,
2. variant with three levels of cleaning and two MIS pumps,
3. variant with three levels of cleaning and one MIS pump.

Naturally, first variant with four levels of cleaning and two MIS pumps presented best solution from technological point; however in this phase of reconstruction its realization was unrealistic. Second variant was also discarded due to shortness of planned downtime of PM, and furthermore Investor did not have two pumps. For these reasons, third variant was chosen and used as a basis for the reconstruction, as shown in Figure 8.



- For dissolution of pulp in constant part and regulation of concentration, sieve water (SV 1) is used instead of fresh water;
- Investment amount: symbolic, compared to the value of new foreign equipment;
- Executors of project: national experts.

### 1.6. CONCLUSION – RECONSTRUCTION OF CONSTANT PART

Based on received results after reconstruction of constant part of PM in Lepenka factory, Novi Knezevac, the conclusions are following:

1. visual appearance of paper is significantly better and meets the demands of the market, which was the goal of reconstruction;
2. hard particles were removed from the paper;
3. reduced consumption of fresh water and increased utilization of raw materials;
4. improvement of mechanical properties of paper and capacity of PM has not been proven due to shortage of time and setting the production, but can be expected in reality;
5. complete reconstruction performed with domestic equipment, except second hand rollers for presses;
6. investment is approx. 8-10 times smaller than those for new equipment,
7. investment is returned in three months.

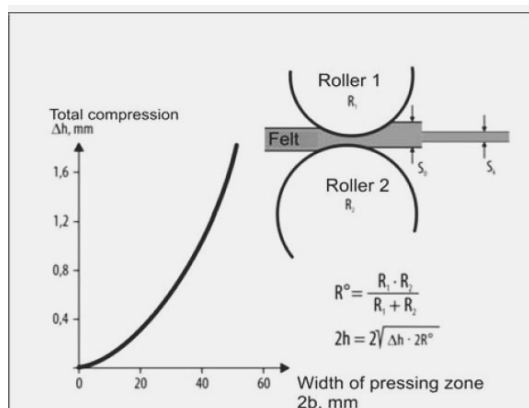


Fig. 10 Dependence of pressing zone from diameter of rollers

## 2. RECONSTRUCTION OF PRESS PART ON PM IN PAPER FACTORY „BEOGRAD“, BELGRADE

### 2.1. MATHEMATICAL MODEL OF THE PHENOMENON OF THE WATER REMOVAL IN PRESS PART

Commercial presses with contemporary contraction achieve dryness of paper tape of 54% before entering drying part, while experimental pilot machines reach up to 58%. Factors determining such dryness are: time of pressing, pressure in pressing zone, construction and quality of felt, as well as temperature and composition of paper tape.

The quantity of water removed from paper in pressing zone is calculated by the equation:

$$dQ = k \cdot \Delta p \cdot dt / \eta \cdot L,$$

Speed of drainage in pressure zone is defined by D'Arcy law:

$$V = dQ / dt = k \cdot \Delta p \cdot 1 / \eta \cdot L, \text{ where:}$$

$\Delta p$  – difference of hydrodynamic pressures,

$L$  – thickness of tape,

$\eta$  – viscosity of water,

$k$  – resistance of water stream through tape,

$t$  – pressing time,

$k/L$  is constant, regardless of speed and amount of drained water.

Pressing time,  $t$ , depends on width of pressing zone,  $2b$ , and speed of paper machine,  $V$ :  $t = 2b/V$ .

Width of pressing zone (20-350 mm) depends on diameter of rollers and shape of pressure zone (pedals), and is calculated by the equation:

$$2b = \Delta h - 2R_e, \text{ where } R_e = R_1 \cdot R_2 / (R_1 + R_2).$$

Figure 10 shows dependence of pressing zone,  $2b$ , from total compressibility,  $\Delta h$ , that is, from diameter of pressure rollers,  $R_1$  and  $R_2$ . Figure 11 shows expansion of pressing zone depending on compressibility of pressing, that is, from number of felts in pressing zone.

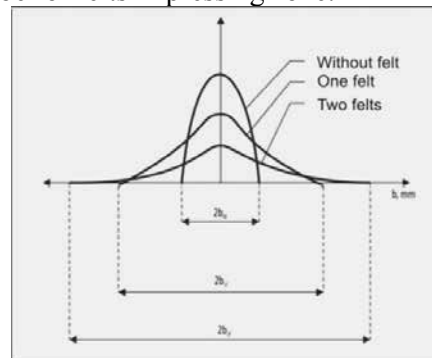


Fig. 11 Dependence of pressing zone from number of felts

This knowledge gave the idea to researchers to pursue expansion of pressing zone beyond classic pressing rollers. Back in 1980 presses with pressing rollers 1600 mm in diameter have been developed, with pressing zone extended from 25 mm to 65 mm, and soon

after that presses with press pedal were developed with pressing zone of full 250 mm. Figure 12 shows three types of presses: classic, with  $R = 1.100\text{mm}$  and pressing zone  $2b = 25$  mm; presses with big roll  $R = 1600$  mm and  $2b = 65$  mm; and presses with pedal and  $2b = 250$  mm.

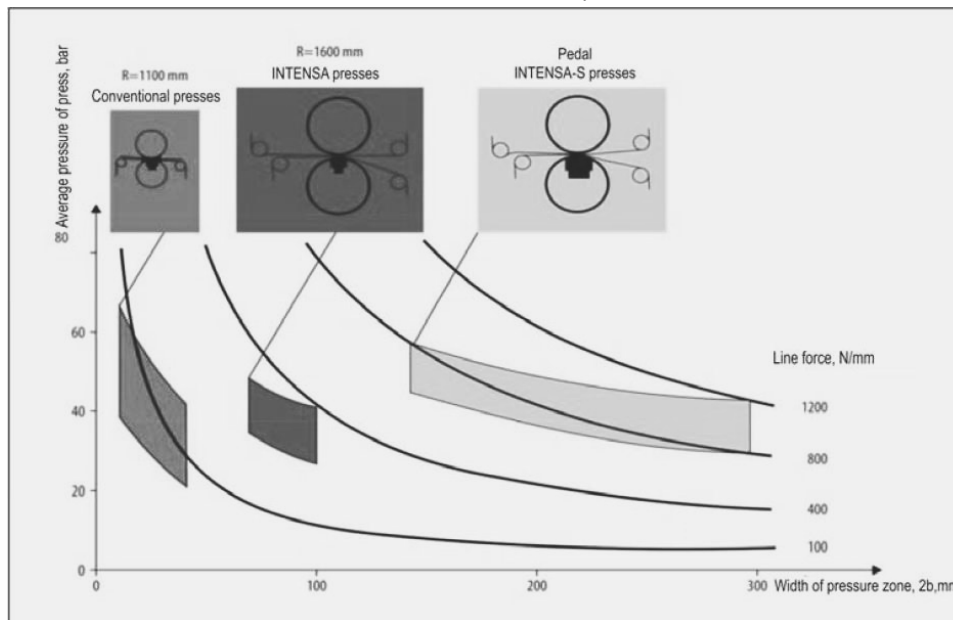


Fig.12 Three types of presses and three pressing zones

## 2.2. EXPERIMENTAL PART – PRESSES ON MODEL FHB

This part shows the effects of the reconstruction of press part in Paper Factory Belgrade (FHB) performed during April-May 2012.

Goal of the reconstruction of presses was to:

- increase paper dryness after presses from 41,5 % to 46%,
- decrease consumption of heat energy for approx. 20%,
- increase capacity for approx. 20%,

- automatic leading of paper tape, from sieve through presses and drying part – thus increasing production for additional 3% and releasing burden on staff.
- increase paper quality by enhancing its mechanical properties and visual appearance.

In order to achieve these goals, existing condition of press part has been analyzed (Figure 13), and the starting point was to reach desired goal with minimal investment.

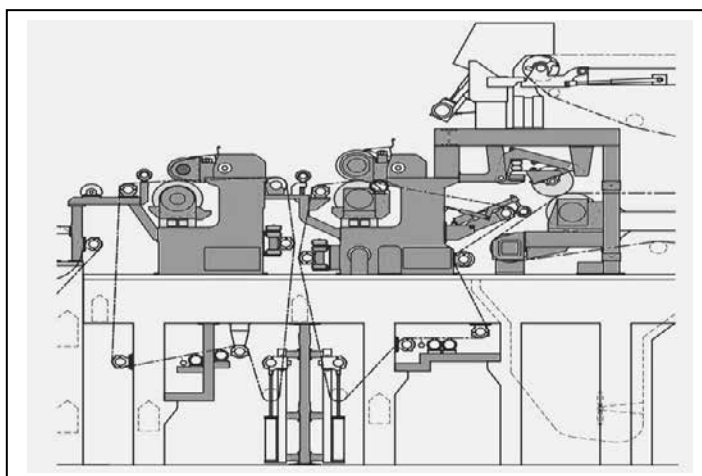


Fig. 13 Press part in FHB prior to reconstruction

Also, it was taken into account that Cardboard factory UMKA possessed second hand press rollers, and in combination with existing presses and purchased JAMBO rollers, with diameter 1.200 mm, such a solution can be

designed which will comply with requirements (both factories have the same owner). After detailed analysis and design of numerous variants of press part, the solution has been found, as shown in Figure 14.

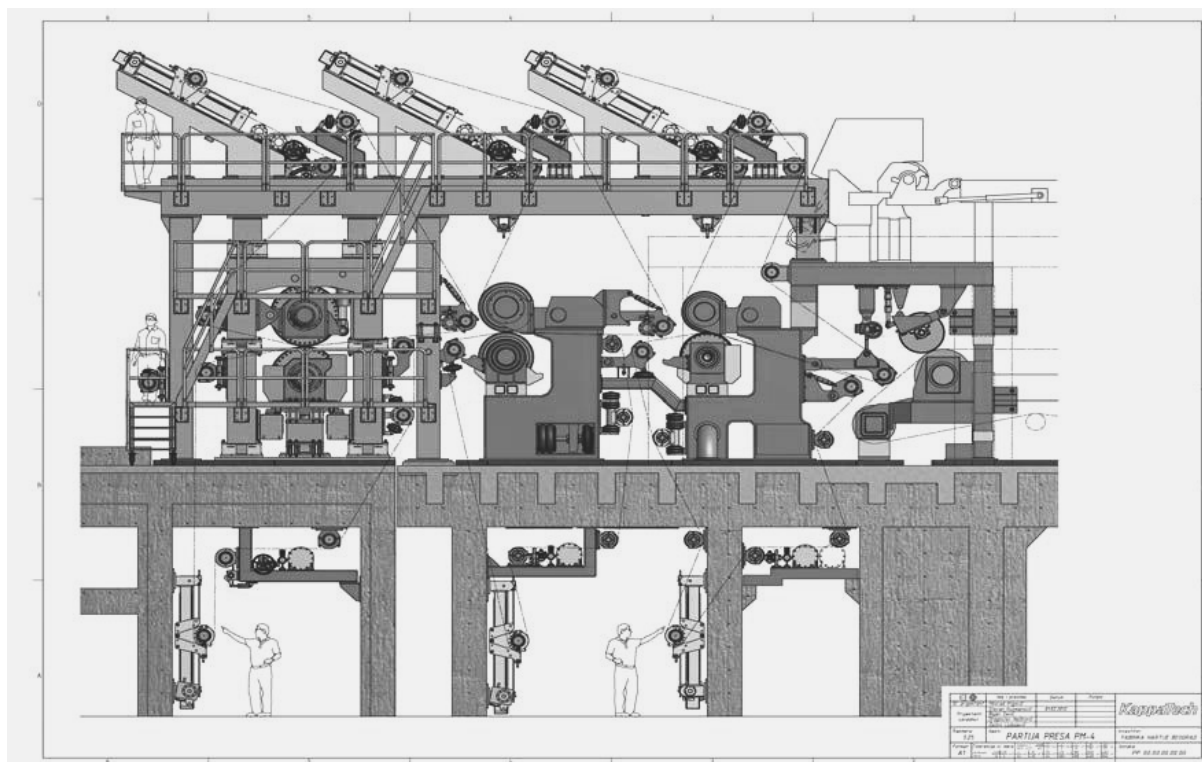


Fig.14 Press part in FHB after reconstruction

As seen in Figure 13, press part prior to reconstruction had two NIP with line pressure: for I choke press 40kN/m, and for II “blind punctured” press (drill press) 100 kN/m. These presses had only bottom felts, and paper tape moved freely through presses.

Presses were designed with closed leading of paper tape through press part, and double felts at each press. All rollers were “blind punctured”, with precisely determined perforation, except bottom choke roller of the I press. Calculation for newly designed presses was complex and complicated, especially estimation of bulging of rollers which depends on many factors.

Since technically accurate parameters for second hand rollers were hard to find (lack of documentation), the calculation became even more complex, making the result of practically correct line pressure even harder to reach.

This design of the closed system of paper tape leading and automatic vacuum take over of the tape between presses by the transfer choker represents the original solution of Designers.

The innovative solution 3NIP – 2F (3 NIP, with double felts) led to the optimal design of presses with 3 NIP, specifically: I press with line pressure of 65 kN/m, II press with 100 kN/m and III press – JAMBO, with 180 kN/m.

Calculation of the engine power for press drive and adjustment of the installed engine power is also the original solution of Designers.

### 2.3. RESULTS AFTER RECONSTRUCTION OF PRESS PART IN FHB

Bulging of rollers and print on IC diagram:  
After installation of presses, IC test or more precisely, the control of the print on rollers was conducted for each press on indigo paper with the projected working line pressure (Figure 15). It can be seen that presses II and III have ideal print, while press I demonstrates weaker bulging. Reason for that is because bottom roller of the I press, with diameter of 3 mm is less bulged than defined in Project. The correction must be performed according to Project in order to achieve desired print.



Fig. 15 IC print – checking of bulging of all three presses

Paper dryness after press part:

Examination conducted by the FHB Laboratory determined that the dryness of paper after press part is 47%, eight (8) days after production start, at the speed of 230 m/min and the weight of fluting paper of 120 g/m<sup>2</sup>. Given that produced quantity is 200 t/day, calculated capacity for the full width of PM at the annual level would be 75.500 t/year (Project put the estimation at 75.000 t/year).

Dryness has been increased from 41,5% (reached at the PM speed of 150m/min for fluting weight 120g/m<sup>2</sup>) to 47,05% (at the PM

Paper quality:

Paper quality has also been increased, giving better mechanical properties as well as visual appearance. Precise data regarding mechanical properties will be obtained after long term monitoring and tuning of production. Cross section of paper humidity has been significantly increased, which also reflected on the increase of output wetness of paper for 1,5-2%. Consumption of heat energy and consumption of fibers for paper production are reduced for the same percentage.

Load of electric engine drive of presses:

According to calculation, where particular load distribution for upper and lower rollers in presses was taken into account (for lower rollers already had oversized engines), engine power for upper rollers was determined, thus

speed of 233m/min for the same paper weight). According to draining theory in paper pressing zone, dryness of paper tape is strictly depending on the time of retaining in pressing zone, thus giving stronger effect – greater percentage of dryness then figures show, although the increase is 5,55% which enables saving 28% of heat energy. After one year of operation of PM 4 in FHB, **achieved dryness after presses is 49%, representing heat energy saving of 37%!**

decreasing needed power at the expense of the engine power of lower rollers.

**2.4. DISCUSSION OF RESULTS**

According to theoretic knowledge, and the choice of system and design of presses, mathematic and hydrodynamic rules have been verified and then applied on model of reconstructed presses in FHB. Received parameters which give better results than those provided in Project, approved the application of modern technology and original solutions.

As seen in theoretic part, there are presses with pedal (SHU), giving dryness after presses of up to 54%, however installation of such presses requires investment of 6-7 Millions EUR. We estimate that the investment for installed presses was approx. 1 Million EUR.

## 2.5. CONCLUSIONS – RECONSTRUCTION OF PRESS PART IN FHB

Reconstruction of press part on PM4 in FHB accomplished following effects:

1. reduced heat energy consumption for approx. 30 – 37%,
2. increased production for approx. 60 %, from 45.000 to 75.000t/year,
3. decreased consumption of raw material (fibers) for 1.5-2%,
4. increased quality of all mechanical properties of paper,
5. investment four times smaller than that for a new equipment,
6. investment returns in less than a year.

All of this achieved with domestic knowledge, domestic equipment, except second hand rollers for presses.

## 3. DRYING PART: RECONSTRUCTION OF STEAM- CONDENSATION SYSTEM IN PAPER FACTORY BEOGRAD AND PAPER FACTORY LEPENKA

### 3.1. BASIC THERMODYNAMIC PHENOMENA IN PAPER DRYING PROCESS

#### Transfer of heat energy

Paper drying presents combination of process of heat and mass transfer. Heat is brought to paper tape from heated drying cylinders, where water evaporates from surface and from the inside of paper tape. This steam, with simultaneous heat transfer, is led to surrounding air. Transfer of heat energy of the steam to surrounding air depends on: temperature of the inside of cylinder, temperature of the outside of cylinder, temperature of the inner side of tape, temperature of the outer side of tape, temperature of the surrounding air, sieve temperature. Transfers of heat and mass are mutually connected and must be observed jointly (Figures 16 and 17).

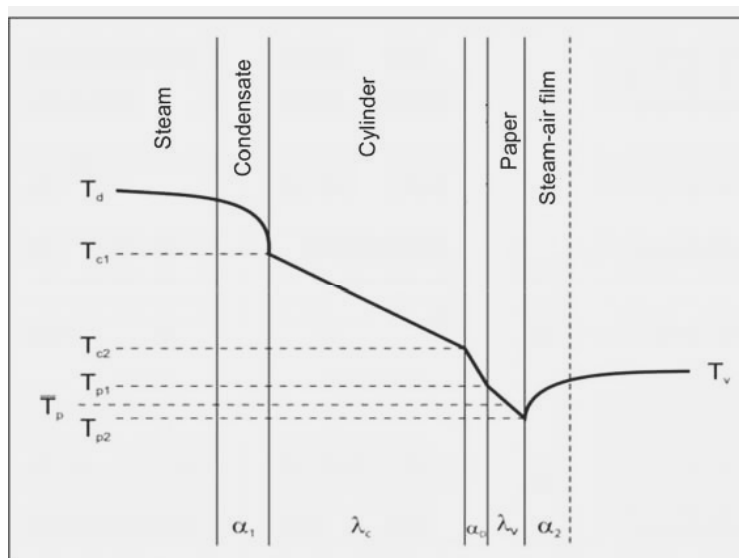


Fig. 16 Heat transfer

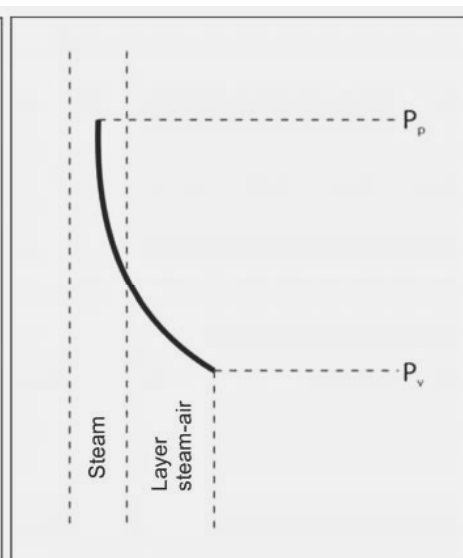


Fig.17 Mass transfer

#### Heat transfer:

$Q = [k(T_d - T_p) + \alpha_2(T_v - T_p)]$ , conduction + convection,

$Q = C_p \cdot \Delta T_p$ , cooling – drying, where:

$T_d$  – steam temperature,

$T_p$  – average temperature of paper tape,

$T_v$  – temperature of air led to paper tape,

$\alpha_2$  – coefficient of transfer steam-air.

#### Mass transfer:

$m_{H_2O} = \beta (P_p - P_v) / R T$ ,

where:

$\beta$  – coefficient of mass transfer,

$P_p$  – partial pressure on the paper surface,

R – gas constant,  
T – air temperature.

Heat transfer in the process of paper drying occurs in three ways:

1. conduction,
2. convection and
3. radiation.

**Conduction**

Heat conduction law was set by Furrier:

$$Q = \frac{F}{d} \lambda * (T_1 - T_2) \cdot t, (J) , \text{ where:}$$

**Convection**

Law of heat transfer from fluid to wall and vice versa was set by Newton:

$$Q = \alpha \cdot F(T_1 - T_2) \cdot t, (J)$$

From this follows that the heat transfer coefficient,  $\alpha$  , is:

$$\alpha = \frac{Q}{F \cdot (T_1 - T_2) \cdot t}, (\frac{W}{m_2 \cdot ^\circ C}), \text{ where}$$

$1/\alpha$  – resistance to heat transfer between fluid and cylinder wall, and the flux of heat transfer is:

$$\Phi = \alpha \cdot F \cdot (T_1 - T_2), (W)$$

Heat transfer unites heat conduction and heat crossing, because in reality these two processes never occur separately. By using Newton’s law, heat transfer can be expressed as:

$Q = k \cdot F \cdot (T_1 - T_2) \cdot t, (J)$ , and coefficient of heat transfer,  $k$ , is:

$$k = \frac{Q}{F \cdot \Delta T \cdot t}, (\frac{W}{m_2 \cdot ^\circ C}), \text{ where } 1/k -$$

resistance to heat transfer.

This coefficient can be calculated from the following equation:

$$\frac{1}{k} = \frac{1}{\alpha_1} + \sum_1^n \frac{d}{\lambda} + \frac{1}{\alpha_2}$$

Heat flux is determined by the equation:

$$\Phi = k \cdot F \cdot (T_1 - T_2), (W).$$

Specific heat flow (density of heat flow) is quantity of heat which flows in unit of time per unit of area:

$$q = \frac{\Phi}{F} = \frac{Q}{F \cdot t} = \frac{\lambda}{d} (T_1 - T_2) = \frac{(T_1 - T_2)}{d / \lambda}, (W / m_2 h)$$

F – cylinder area, m<sup>2</sup>,  
d – cylinder wall thickness, m,  
t – time, s,

T<sub>1</sub>, T<sub>2</sub> – temperature of inner and outer side of cylinder, °C.

From this follows that heat conductivity,  $\lambda$ , is:

$$\lambda = \frac{Q \cdot d}{F \cdot (T_1 - T_2) \cdot t}, (\frac{W}{m \cdot ^\circ C}), \text{ and heat flow}$$

per time unit is the flux,  $\Phi$ :

$$\Phi = \frac{Q}{t} = \frac{F}{d} \lambda \cdot (T_1 - T_2), (W)$$

**Principle of calculating heat and mass transfer**

**Heat quantity** transferred by air streaming to the surface of paper, per unit of area, is calculated by the

equation:

$$Q = \alpha \cdot (T_v - T_p) W / m_2,$$

where:

Q – quantity of heat per unit of area, W/m<sup>2</sup>

T<sub>v</sub> – temperature of hot air brought to paper, °C

$\alpha$  – coefficient of heat transfer from hot air to paper surface, W/m<sup>2</sup> °C

T<sub>p</sub> – temperature of the paper surface, °C.

**Quantity of mass** (evaporated water) removed from the paper surface, can be calculated by the following

equation:

$$g = \frac{\beta}{R_p \cdot T_m} (P_p - P_v),$$

where:

g – quantity of removed evaporated water from paper per time unit, kg/ m<sup>2</sup>,s

R<sub>p</sub> – gas constant for water steam, J/kg °C

T<sub>m</sub> – average absolute temperature of border layer, °C

P<sub>p</sub> – partial pressure of water steam on paper surface, kg/m<sup>2</sup>

P<sub>v</sub> – partial pressure of water steam in turbulent core of drying air, kg/m<sup>2</sup>

$\beta$  – coefficient of mass transfer (water steam) from paper surface through laminate border layer into turbulent core of drying air, m/s.

Furrier's law is analogue to Ohm's law: I = E/R, where quantity of heat (Q) corresponds to power of current (I), difference (T<sub>1</sub> - T<sub>2</sub>) corresponds to difference of potentials E, and

heat resistance ( $d/\lambda$ ) corresponds to Ohm resistance (R). In order to evaporate quantity of water G from paper, quantity of heat Q must be brought through steam.

$$Q = Q_{cil.} + Q_u, \text{ ili } Q = G \cdot r,$$

where:

$Q_{cil.}$  – quantity of heat per one cylinder, which transfers from cylinder to paper, W;

$Q_u$  – quantity of heat per unit of time which transfers from surrounding to paper, W;

G – quantity of evaporated water per unit of time, kg/h.

r – heat of water evaporation, J/kg.

These equations represent process of heat energy transfer during paper drying, and the process is shown in Figure 18.

Figure 18.

Quantity of heat brought to paper tape can be expressed as:

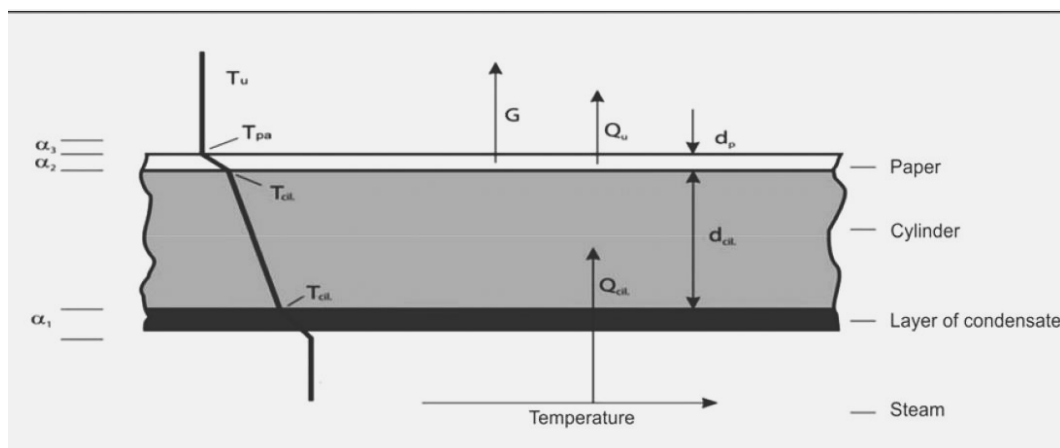


Fig. 18 Heat and mass transfer during constant drying

Coefficient of heat transfer, k, is obtained by the equation:

$$\frac{1}{k} = \frac{1}{\alpha_1} + \frac{1}{\lambda_{cil.}} + \frac{1}{\alpha_2} + \frac{d_p}{\lambda_p}, \text{ where:}$$

$\alpha_1$  – coefficient of heat transfer from the inner side of cylinder to the cylinder walls;

$d_{cil.}$  – thickness of the cylinder cover;

$\lambda_{cil.}$  – coefficient of heat conductivity of the cylinder cover;

$\alpha_2$  – coefficient of heat transfer from the cylinder surface to paper;

$d_p$  – paper thickness;

Quantity of evaporated water per hour can be calculated by the equation:

$$Q = F \cdot k (T_o - T_{pa}) + F \cdot \alpha_3 \cdot (T_u - T_{pa}),$$

(W),

where:

k – coefficient of heat transfer between steam and surroundings, W/m<sup>2</sup>°C,

$T_o$  – temperature of hot steam, °C,

$T_{pa}$  – temperature of the paper tape surface, °C,

$\alpha_3$  – coefficient of heat transfer between paper and surroundings, W/m<sup>2</sup>°C,

$T_u$  – temperature of surroundings, °C,

F – drying surface, m<sup>2</sup>.

$$G = \frac{F}{r} k (T_p - T_{pa}) + \lambda_3 (T_u - T_{pa})$$

Value of the temperature drop between inner side of cylinder and outer side of paper tape is influenced by a number of factors, as shown in Figures 16 and 17.

### Paper drying process

Water contained in paper at the time of its arrival to drying cylinders, consists of free and chemically bound water. Free water is present on the surface of fibers and in capillaries. It evaporates relatively easy. Bound water presents 23-37% of total weight of paper tape and is stiffened – bound in fiber cells. Its

evaporation demands significantly greater energy.

During primary period of paper drying free water evaporates. Speed of drying in this period is determined by the intensity of water evaporation from paper surface and does not depend from speed of diffusion within paper. Temperature of paper in this period is constant, and the air moisture around paper is close to the dew point. This period includes 50-60% of total drying process, and the speed of water evaporation during that period is:

$$w_o = k_i (P_s - P_D) \cdot 760/H, \text{ ( kg H}_2\text{O/m}^2\text{)},$$

where:

$$k_i = 0,0229 + 0,0174v, \text{ (kg H}_2\text{O/m}^2 \text{ , s, kPa)}$$

coefficient of the evaporation speed;

$P_s$  – partial pressure of water steam at the evaporation temperature, kPa;

$P_D$  – partial pressure of water steam in surrounding air, kPa;

$H$  – barometric pressure of surrounding air, kPa.

With increased temperature of paper, speed of water evaporation also increases. During decreasing partial pressure of water steam in

surrounding air, achieved by proper ventilation, the speed of evaporation rises.

Evaporation also increases by decreased barometric pressure  $H$  (drying in vacuum). Former equation gives basic factors which influence on speed of water evaporation in first part of drying part. Primary drying period lasts until paper dryness of 65-70%.

In secondary drying period, where evaporation of hygroscopic bound water starts, the intensity of evaporation slowly decreases and the temperature of paper rises.

Speed of drying in this period depends on the speed of diffusion of water in paper and gradually decreases with decreasing of paper humidity. Speed of diffusion depends on paper humidity, type of fibers, rate of granulation, paper thickness etc. Speed of drying in secondary period also depends on contact between paper and cylinder, type of drying sieves, their tension, ventilation etc. Therefore, process of paper drying on drying rollers can be divided into three zones – phases of evaporation of water from paper (Figure 19).

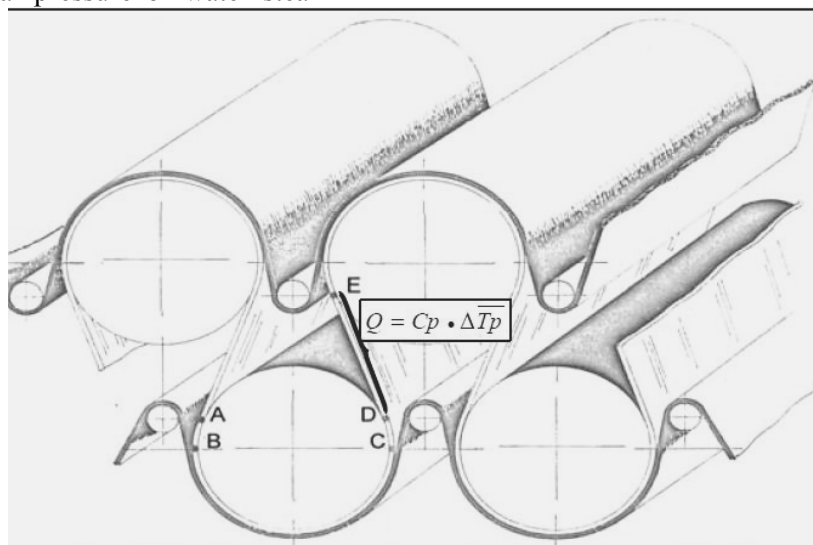


Fig. 19. Phases of paper drying on drying cylinder

Part A-B and opposite, symmetrical part, C-D, are not covered by drying sieve. At these parts paper is in contact with cylinder, but since there is no sieve pressure, contact between them is weak. Therefore evaporation on these parts is lesser and does not go beyond 5-10% of total quantity of evaporated water.

Paper on part B-C is pressed by sieve to the cylinder. In this section main water evaporation occurs (80-85% on slow-running

and 60-75% on speed-running paper machines).

Speed of water evaporation on part B-C is greater than on part A-B due to better contact between paper and cylinder, and also because the difference between partial pressures of water steam evaporated from paper and water steam in the structure of drying sieves is greater than the difference of partial pressures of water steam evaporated from paper and water steam in surrounding air.

Tertiary period of drying includes interval D-E, where paper moves freely between cylinders. Unlike first two drying periods, where heat is brought to paper, water evaporation in tertiary period is the consequence of heat accumulation during first two drying periods. Paper tape in tertiary drying period is cooled by 4-5°C on fast and 12-15°C on slow paper machines. Previously stated formula for heat transfer  $Q = Cp \cdot \Delta T_p$ , is valid for this part, for the phase cooling-drying of paper, part D-E, Figure 19. With the increase of machine speed, the quantity of water evaporated in third phase rises and can reach 20-30% of totally evaporated water.

It can be explained by smaller drop of temperature of tape on this part at fast machines, creating smaller border layer of saturated air on the paper surface. This manifestation explains smaller intensity of water evaporation from paper on multicylinder machines in relation to single-cylinder, where heat transfer is continual during whole drying process.

Intensity of drying is determined by following factors:

- temperature and pressure of steam in cylinders;
- ventilation of drying part;
- type of drying sieves and size of contact between paper and cylinder, depending on tension of sieve;
- diameter of drying cylinders and distance between their centers, horizontally and vertically, of which depends length of free part of paper tape, Figure 19, part D-E;
- possibility of removing condensation and air from drying cylinders, and purity of their surface (coefficient of heat transfer from steam to paper depends from these factors);

- paper properties (weight, composition, granulation, porosity, filler content, primary-secondary fibers...).

Determination of factors which influence the drying process is very complex and demands detailed examination on every PM, as was the case in FHB and in LEPENKA.

In this part of work we will discuss steam-condensation system, because results received by its reconstruction are reflected in energy saving on paper machine.

$$Q = Cp \cdot \Delta T_p$$

### 3.2. STEAM-CONDENSATION SYSTEM

As is known from thermodynamics, one millimeter of condensate of water steam in drying cylinders creates resistance to heat conductivity equal to 27mm of steel and invokes drop of temperature on the surface of cylinder of 4,6%. For that reason, well programmed draining of condensate from drying cylinders enables efficient functioning of drying part, and thus functioning of paper machine with high energy efficiency.

Therefore, devices for draining of condensate from drying cylinders, which influence the condensate draining, must be analyzed.

There are three contemporary systems of siphons for draining condensate from cylinders, namely:

2. spoon, Figure 20a,
3. rotating syphon, Figure 20b, i
4. stationary syphon, Figure 20c.

Spoon system which was until now built into PM4 in Paper factory Belgrade, in ideal conditions had condensate 6 mm thick, which influenced decrease of heat transfer from steam to the surface of cylinder, just as the wall of cylinder would be 150 mm thick.

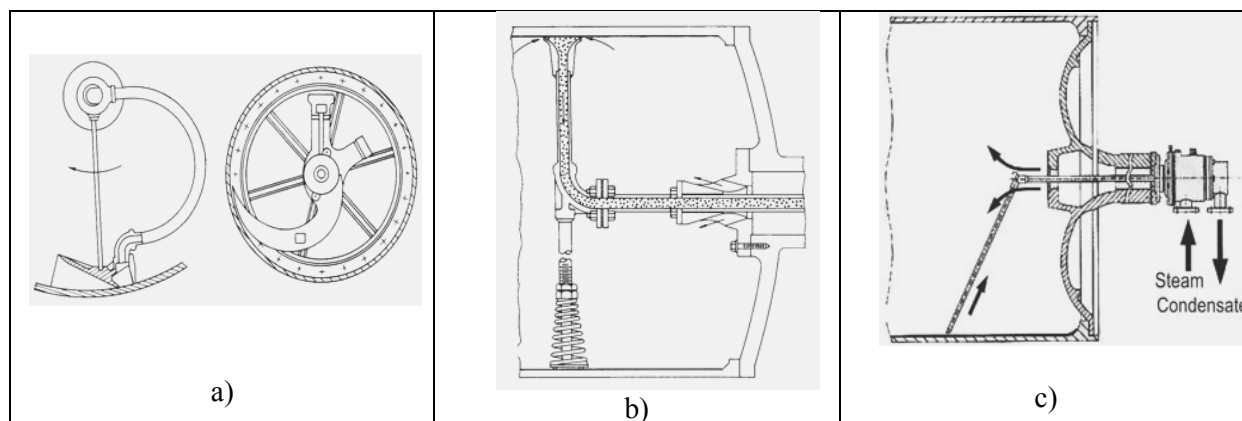


Fig.20 Siphon types: a – spoon, b – rotating, c – stationary

Otherwise, usual thickness of steel cylinder wall in such constructions for the working steam pressure of 5 Bar is 27 mm. Beside great resistance in heat transfer, there is also increased electric power consumption on these cylinders for the drying part drive, due to accumulated condensate in cylinders.

During creating larger amount of condensate in cylinders, the load of engine for cylinders drive rises, and condensate appearing in cylinders at lower speeds does not form ring but collapses and creates impacts on the bottom of cylinder. Therefore oscillations in load of engine occur,

and thus oscillations in speed of drying group. For that reason, continuous production of paper is impossible because paper tape breaks between groups, as a consequence of impossible synchronization of speeds and differences in speed between drying groups. Figure 21 shows cylinder with larger quantity of condensate, where water impacts and oscillation of speed of drying rollers occur. When speed of cylinders rises, condensate turns into ring and the speed of cylinder stabilizes, and the engine load gradually decreases and then suddenly rises.

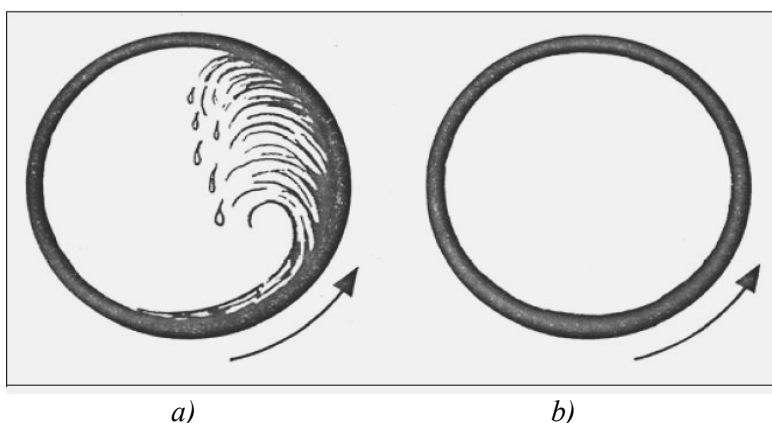


Fig.21 Condensate in cylinder: (a) low speed – condensate, (b) great speed – ring of condensate

Figure 22 shows load of engine depending on speed of paper machine and condition of condensate in cylinder: condensate or ring of condensate.

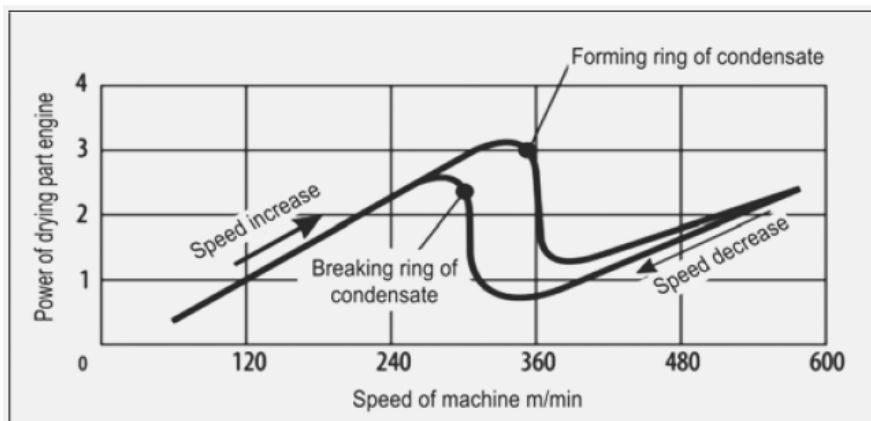


Fig. 22. Dependence of engine load from the speed of machine and condition of condensate in cylinder

Diagram in Figure 22 shows that critical point of engine load, which causes turn of the condensate into ring of condensate, is at the 360 m/min, after which ring is created and it causes sudden decrease of engine load.

Further increase of the speed of paper machine, engine load gradually rises, proportionally to the increase of speed of PM.

If we decrease speed of paper machine, engine load will drop until speed of 300 m/min, when lower critical point, so-called hysteresis, appears. At that point ring turns into condensate, engine load suddenly rises and speed of paper machine becomes unsynchronized (such was the case in FHB on PM4 on May 21st 2010)

Installation of modern siphons into drying cylinders of PM for draining condensate from cylinder (rotating, Figure 20b or stationary, Figure 20C), in normal working conditions, gives thickness of condensate ring of 1.6 mm. Although both these systems are modern, with high level of condensate draining, there are differences in energy efficiency between them.

### 3.3. REALISATION OF THE RECONSTRUCTION PROJECT OF STEAMCONDENSATION SYSTEM ON PM4 IN PAPER FACTORY BELGRADE

By detailed studying theory and practical experiences, as well as comparative analysis of

pros and cons of rotary and stationary siphons, as well as cascade and thermo compression systems, we have decided to choose: **stationary siphons and combined cascade-thermo compression steam-condensation system.**

Diagram of SCS after reconstruction of PM4 is shown in Figure 23. System was designed with high level of heat utilization, all of steam has been utilized, i.e. there is no heat loss. The accuracy of this is confirmed by the fact that the annually 75.000 tons of packaging paper is being produced in drying group of 28 drying cylinders with Yankee cylinder and Lime press for chemical coating.

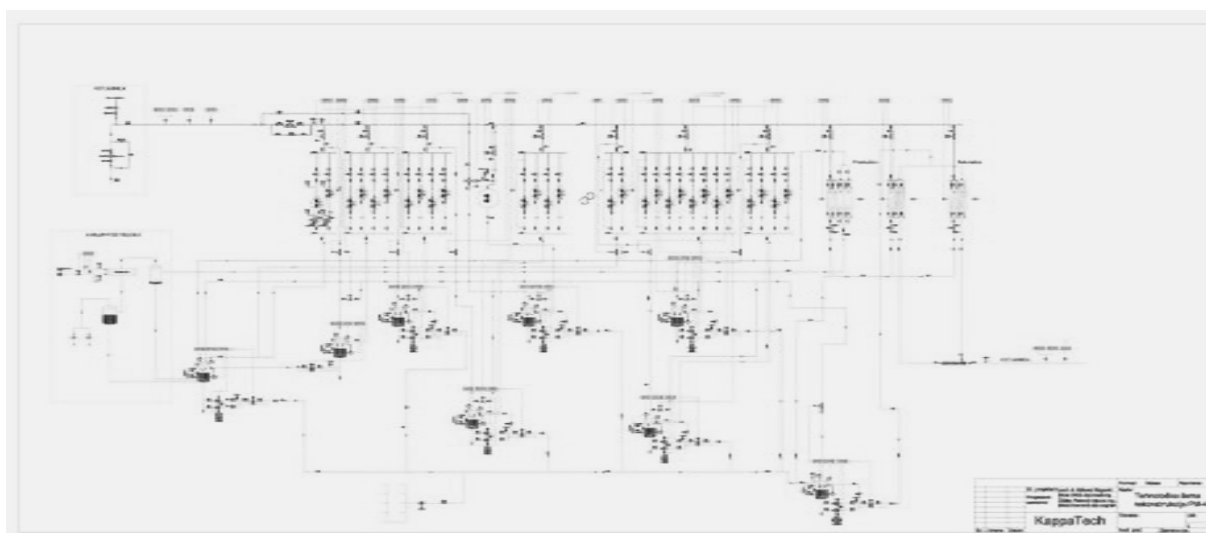


Fig. 23 Cascade thermo-compression SCS after reconstruction of PM

### 3.4. RECONSTRUCTION OF STEAM-CONDENSATION SYSTEM ON PM1, LEPENKA, NOVI KNEZEVAC

Since there was separate reconstruction of SCS on this machine, detailed monitoring of the condition of technology before and after reconstruction have been conducted. Mathematical approach to the evaluation of the effects of reconstruction of SCS in Lepenka has been applied according to TAPPI standard. First step was to record all relevant factors on PM which influence the drying process. Specific consumption of heat and electric energy in drying part was recorded in dynamic and stable technological and production conditions. Recording was performed before reconstructions, and under same conditions, after reconstruction of SCS.

#### Condition prior to reconstruction

Recording of the existing condition of technical parameters on PM1, which presented basis for project of reconstruction of SCS, has been executed according to unique check list, according to which measurements were made. The production on PM1 for 2011 and first quarter of 2012 is given by the sorts of paper, monthly, measured on roller, for fluting, srenc and test liner, gross values. In production of these paper sorts, during continuous production and at full working width, a speed of PM has been measured and all relevant data for paper production in pulp preparation, sieve part, press part, drying part and roller was demanded.

Also, a number of changes of air in hall per hour had to be measured and the existing documentation of SCS had to be provided, and thermic parameters on SCS as well as rate of condensate return to boiler had to be recorded. Figure 24 shows actual condition in drying cylinders and draining of condensate prior to reconstruction.

Drying cylinders were half filled with condensate, i.e. up to the level of cylinder branch, through which the pipe for condensate draining passes. This phenomenon was caused by thermostats built on pipelines for condensate draining, and they were installed on all drying cylinders (Figure 25).



Fig. 24. Inner appearance of cylinder, with condensate

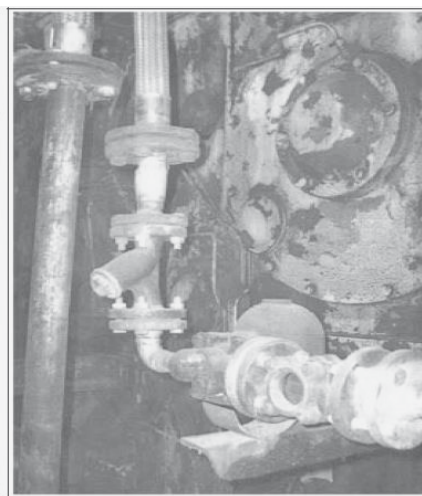


Fig. 25. Built thermostats on pipelines for condensate draining

**Condition after reconstruction**

SCS has been reconstructed as a cascade system with three thermic groups, as shown in Figure 26. Optimal SCS with high thermic efficiency was designed with four thermic drying groups and heat exchangers where so-called Brid steam was used for heating fresh

air. However, due to lack of investment means, construction of this system has been postponed for the next phase of reconstruction. Existing stationary siphons for condensate draining were utilized, with correction of „heads“, in order to achieve desired distance of 3mm between cylinder and syphon.

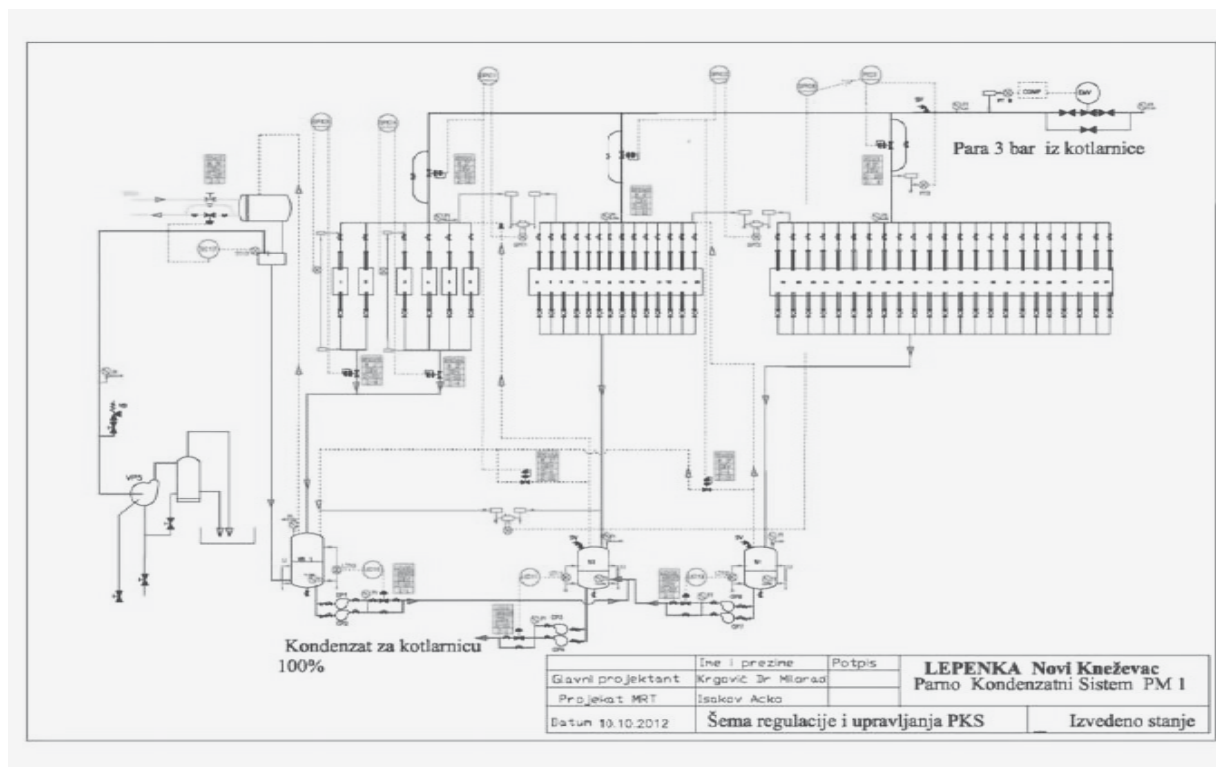


Fig. 26 SCS in LEPENKA after performed reconstruction of PMI

Whole system of steam pipelines has been reconstructed, as well as system for condensate draining and vacuum facility. Measuring and regulation devices were built for the automatic regulation of whole SCS, with optional attachment to computerized automatic management and regulation of paper humidity. After reconstruction and test and commercial production, whole system has been examined under same methodology as prior to reconstruction.

All drying cylinders were checked and it was noted that they were empty – there was no retained condensate in them, as shown in Figure 27. Figure 28 shows steam supply and condensate draining from cylinders, where it can be seen that there are no thermostats on pipelines for condensate draining, since such thermostats are not anymore applied in modern SCS. Recorded results of the examination after reconstruction of SCS are shown in table 1 and 2, and table 3 shows results six months after reconstruction.



Fig. 27 Interior of cylinder without condensate, after reconstruction

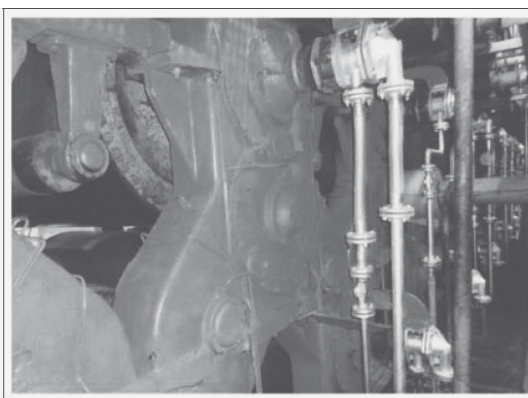


Fig. 28 Steam supply and condensate draining without thermostats

Table 1 Conducted measurements and period of verification of guaranties according to TAPPI standard – srenc

31.10.2012.								
Time of measurement	Sort of paper, weight, g/m <sup>2</sup>	Paper production, t/h	Steam consumption, t/t		Steam-heat energy saving, %	Electric power consumption, A		Electric energy saving, %
			Before	After		Before	After	
12.15h	Srenc, 180	5,025	2,48	2,0	19,4	50,7	27,0	46,7
12.45h	Srenc, 180	4,95	2,48	1,98	21,0	50,7	27,5	46,6
19.00h	Srenc, 100	3,36	2,48	1,88	24,0	50,7	29,9	42,0
20.10h	Srenc, 100	3,39	2,48	1,80	27,4	50,7	29,8	42,0
<b>average</b>			<b>2,24</b>	<b>1,99</b>	<b>19,76</b>	<b>50,7</b>	<b>28,85</b>	<b>43,0</b>
01.11.2012.								
10.00h	Fluting, 127	4,47	3,0	2,41	19,67	50,7	31,7	38,7

Table 2 Measured parameters on PM on 21. i 22. November 2012 – fluting

Time	P3	DP2	DP1	Vac.I	T17	Pul	Load of drying groups, A						S1	S2	V PM	Q.st.	Wei g.	Widt h	SPP
							I	II	III	IV	V	VI							
				-0.30	85	3	30	30	20	25	25	38	1,8	1	232	9,8	127	220	2,51
10:50	2,89	0,78	0,96	-0.30	85	3	35	29	20	25	24	33	2,2	1,5	182	11,5	180	217	2,69
11:50	2,77	0,78	0,92	-0.27	90	2,8	35	30	20	25	23	34	1,8	1,2	182	11,3	180	217	2,65
12:50	2,46	0,75	0,83	-0.28	85	3,7	33	29	20	24	29	29	1,6	0,8	182	12	180	217	2,81
14:55	1,72	0,43	0,45	-0.28	76	1,8	33	27	23	24	28	36	1,6	0,6	236	9,5	127	215	2,45
19:00	1,65	0,53	0,52	-0.32	80	1,7	37	30	24	26	31	41	0,8	0,4	236	8,1	127	215	2,09
20:00	1,7	0,53	0,52	-0.30	80	1,7	38	31	23	25	32	40	0,8	0,4	236	10,2	127	215	2,64
22.11.2012, measuring steam flow, fluting 127/215, speed 236 m/min																			
11:50															236	9,6	127	215	2,48
12:50															236	9,5	127	215	2,45

Table 3 Measured parameters on PM on 29.03.13., speed of PM 195m/min, srenc 110/220g/m<sup>2</sup>

P3	DP2	DP1	Temp cond in collector, oC			Load of drying groups, A						Vac. PM	Weight	Width
			I	II	III	I	II	III	IV	V	VI			
0,95	0,35	0,20	100	95	75	34	25	35	25	30	25	- 0,32	110	220

**Note:** P3 – steam pressure in main pipeline, DP2- differential pressure between I and II drying group, DP1 – differential pressure between II and III drying group, Vac.I – vacuum in I drying group, T17 – exit temperature of water on condenser, S1 – pressure in collector I, S2 – pressure in collector II, SPP – specific consumption of steam, Vac. PM – vacuum on PM.

Table 2 shows that speed of PM is increased from 195 m/min before, to 236 m/min after reconstruction.

Data from table 3, received on the basis of measurement 6 months after reconstruction of SCS at the speed of 195 m/min, same as prior to reconstruction, indicate key factors of the effects of reconstruction.

Steam pressure in main pipeline is 0.95 bar, and prior the reconstruction it was 3.0 bar. Temperature in separator of first thermo group after reconstruction was 100oC, and prior to reconstruction it was 121oC.

There is no loss of heat on vacuum condenser after reconstruction, and the temperature of cooling water is 32°C with minimal consumption of fresh water. Prior to

reconstruction this temperature was 75°C, with much greater fresh water consumption. Engine load for drying groups was 29 A, and prior to reconstruction it was 50.7 A.

This data, achieved in real practice on PM LEPENKA, is in direct correlation with thermodynamic procedures in paper drying process, shown in Figures 29 and 30.

Figure 29 shows that with increasing thickness of condensate from 0 to 10mm in drying cylinder, coefficient of heat transfer changes from 1.000 to 4.000W/m<sup>2</sup> °C.

Figure 30 show influence of thickness of condensate in cylinder, from 2 to 14 mm,

under various speeds of PM, on needed engine power, per meter of width of paper machine.

Also, there were examinations of the influence of condensate in drying cylinders on the number of malfunctions of PM before and after reconstruction, Figures 31 and 32.

Diagram 31 shows that 78% of total number of more important malfunctions of PM accounts for synchronization of drying groups speed.

Diagram 32 shows that after reconstruction there is no malfunctions due to synchronization of drying groups speed.

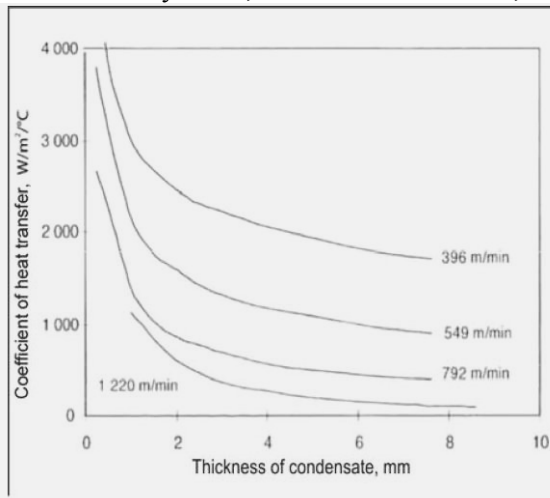


Fig. 29 Coefficient of heat transfer, as function of the speed of drying cylinder and condensate thickness

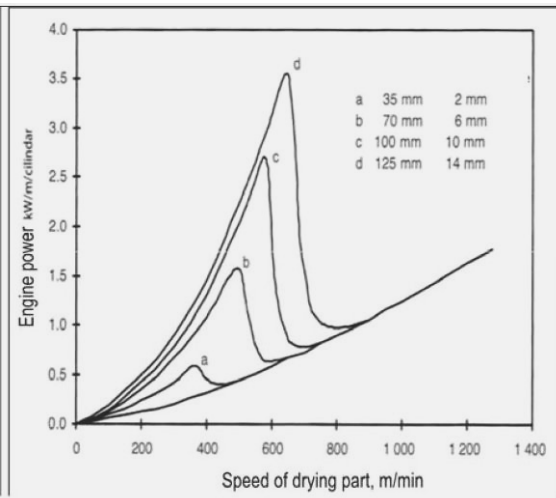


Fig. 30 Engine power needed to drive drying cylinder with diameter 1500 mm for various thickness of condensate in cylinder

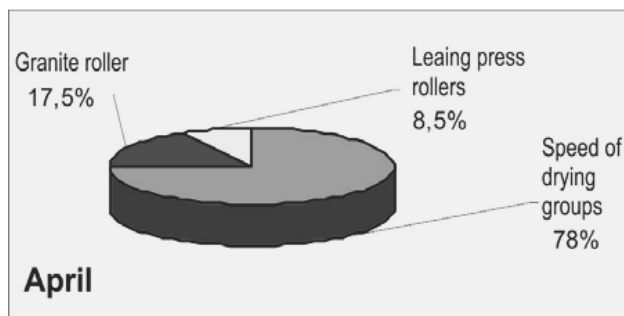


Fig.31 Malfunctions of PM prior to reconstruction

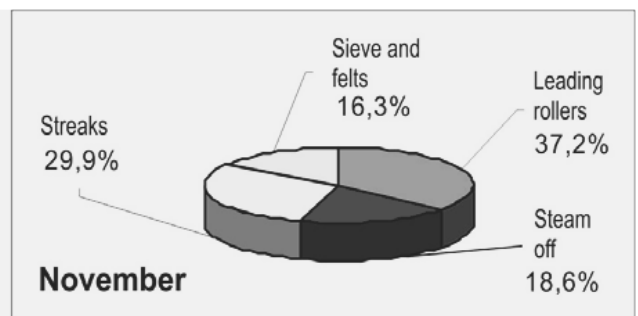


Fig. 32 Malfunctions of PM after reconstruction

### 3.5. DISCUSSION OF THE RESULTS

Based on conducted measurements and received results shown in tables 1, 2 and 3 and in diagrams shown in Figures 12 and 13, the effects of the reconstruction of SCS on PM LEPENKA are as follows:

**Heat energy:**

1. specific steam consumption has been decreased from 2,48 t/t to 1,99 t/t for srenc paper. In that way steam consumption has been decreased for 0,49 t/t, or 19,75%;
2. specific steam consumption in fluting production (from semi pulp made of straw and waste paper) has been decreased from 3,0t/t to 2,40t/t of paper. Thus there was a saving of 0,59t steam/t fluting (19,67%);
3. after comparing these results with thermodynamic laws of heat transfer, Figure 29., the conclusion is that the results could have been expected, i.e. provided by project;
4. decrease of steam pressure in main steamline from 3,0 bar, prior to reconstruction, to 0,95 bar after the reconstruction, and temperature of condensate in first separator from 121 to 100°C, at

the same speed of PM of 195m/min, also is in correlation with theoretic assumptions, Figure 33. This enabled increase of thermic capacity of drying part, and therefore speed of PM, from 195 to 235m/min, representing increase of 20,5%.

**Electric energy:**

1. reconstruction of SCS decreased load of engines in drying groups from 50,7A to 29,85A, which is decrease of 43%. These results are in correlation with theoretic assumptions shown in Figure 30. Calculations given in concept and master project provided saving 46% of electric energy, with given guaranties of 8%.

*After summing up achieved results and predictions in project, the conclusion is that they are within the limits of expected, and also better than given guarantees.*

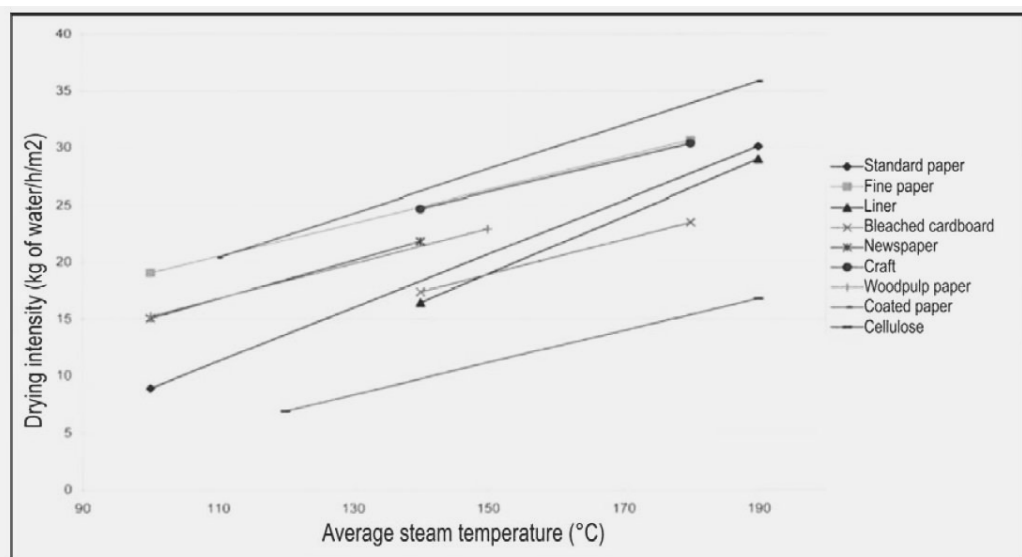


Fig. 33 Diagram of the intensity of drying for various sorts of paper and cardboard

### 3.6. CONCLUSION – RECONSTRUCTION OF STEAM- CONDENSATION SYSTEM

**I. SCS on PM4 in Paper factory Belgrade,** previously pressure-flow system with spoon condensate draining from cylinders, has been reconstructed into cascade thermo-compressor system with stationary syphon.

The effects were following:

1. decreased steam consumption for approx. 10 %,
2. decreased electric power consumption for approx. 8%,
3. increased production for approx. 8%,
4. investment decreased 2-3 times in relation to standard,
5. investment returned in approx. 3-4 months.

### REFERENCES

1. Heikkila, P., Timofeev, O., Kiiskinen, H., Kuhasalo, A.: „*Multicylinder dryer and drying concepts*“, Papermaking Part 2, Drying, s.80, Helsinki, 2010
2. Krgovic, M.: *Master thesis: "Saving of heat energy in the production of paper,"* Faculty of Technology, University of Zagreb, 1977.
3. Krgovic, M.: *Ph.D. Thesis "New methods for efficient drying of paper in order to save energy"*, Faculty of Technology, University of Zagreb, 1983.
4. Krgovic, M.: *THE MAIN PROJECT I: Reconstruction of PM4 on Paper mill BELGRADE*, Center CPAG-Faculty of Technology and Metallurgy, Belgrade, 2010.
5. Krgovic, M.: *The project of reconstruction steam - condensate system on PMI LEPENKA d.o.o.*, Novi Knezevac, Center CPAG-Faculty of Technology and Metallurgy, University of Belgrade, jul 2012.
6. Krgovic, M.: *The project of reconstruction steam - condensate system on PMI LEPENKA Novi Knezevac – IMPLEMENTED CONDITION*, Center CPAG-Faculty of Technology and Metallurgy, Belgrade, October 2012.
7. Turunen, T., Heinonen, L., Banecki, R.: *17 Thesen zur Steigerung der Energieeffizienz*, Wochenblatt für Papierfabrikation, s.184, **3**(2011).
8. Krgovic, M.: *THE MAIN PROJECT II: Reconstructing PM4 on paper mill BELGRADE*, Center CPAG-Faculty of Technology and Metallurgy, University of Belgrade, 2011.
9. Jovanovic, S., Krgovic, M.: *Auxiliary means in paper production*, Faculty of Technology and Metallurgy, Belgrade, 2010.
10. Kaapa, O.: *Der Auslaufeinkel, die Sättigung und die Rolle der Pressenfilze in der Tri NIP-Pressenpartie*, Wochenblatt für Papierfabrikation, s.180, **3**(2010)
11. Hain, T., Müller, M.: *Nachhaltigkeit als Schlüssel für eine effiziente und wirtschaftliche Papier- und Kartonerzeugung*, Wochenblatt für Papierfabrikation, s.38, **1**(2011)
12. Müller, W.: *20% Energieersparnis durch IntensaPulper IP-R*, Voith Paper TWOGETER, No. **30**, 2010.
13. Trefz, M., Kuchinke, T.: *LWC paper – quality and efficiency*, International Customer Conference Voith Paper-Graphic Papers, Salzburg, 04-06.09.2002.
14. Oechsle, M.: *The IEM relies on complete process integration*, Voith Paper TWOGETER, No. **31**, 2010.
15. Kersten, A., Hamm, U., Putz, H. J., Schabel, S.: *Zur Diskussion um die Migration von*

Everything has been realized with domestic knowledge, equipment providers, installation and commissioning.

**II. The results of the reconstruction of SCS on PM1 in LEPENKA Novi Knezevac**, were following:

1. decreased heat energy consumption for 19,7%;
2. decreased electric power consumption for drying cylinders for 43%;
3. increased speed of PM for 20%;
4. eliminated malfunctions of PM due to unsynchronized drying part and thus increased utilization of working hours of PM.

This model proves that it is possible to theoretically predict practical results of the reconstruction.

*Mineralol in Lebensmittel und das Altpapier – Recycling*, Wochenblatt für Papierfabrikation, s.14, **1**(2011)

16. Kohler, A.: *Successful startau of Nantong PM I*, Voith Paper TWOGETER, No. **31**, 2010.

17. Maier, J.: *Optimierung von Qualität und Wirtschaftlichkeit durch innovative Konstanttteile*, Wochenblatt für Papierfabrikation, s.107, **2**(2011)

18. Drefs, W., Kuchinke, T.: *Woodfree papers*, International Customer Conference Voith Paper-Graphic Papers, Salzburg, 04-06.09.2002.

19. *Challenges of a successful large-scale investment*, Voith Paper TWOGETER, No. **29**, 2009

20. Kohl, C., Zettel, M.: *Kosteneinsparung durch Erhöhung des Fullstoffgehaltes bei Streichrohpapier*, Wochenblatt für Papierfabrikation, s.1016, **12**(2010)

21. Menke, L.: *Statt Entsorgung Energie erylugen*, Voith Paper TWOGETER, No. **28**, 2009

22. Lotti,H., Sieber, A.: *Software optimiert Fahweise in DIP – Anlagen*, Wochenblatt für Papierfabrikation, s.156,**3**(2011)

23. Krgovic, M.: *The project of reconstruction of the constant part and regulation walk sieves and felts on PMILEPENKA, Novi Knezevac*, Center CPAG-Faculty of Technology and Metallurgy, Belgrade, april, 2013

## HÂRTIE CU NANOPARTICULE MAGNETICE

Dan Buteica<sup>\*</sup>, Constantin Constantin<sup>\*</sup>, Alina Moaca<sup>\*\*</sup>, Oana Marinica<sup>\*\*\*</sup>, Vlad Socoliuc<sup>\*\*</sup>

<sup>\*</sup>SC CEPROHART SA, Braila, Romania

<sup>\*\*</sup>Romanian Academy-Timisoara Branch, Center for Fundamental and Advanced Technical Research, Laboratory of Magnetic Fluids, Timisoara, Romania

<sup>\*\*\*</sup>“Politehnica” University of Timisoara, Research Centre for Complex Fluid Systems Engineering, Timisoara, Romania

Correspondența autor: SC CEPROHART SA, Braila, Romania, Departament Cercetare, Șos. Vizirului, km.10, [cd64constantin@yahoo.com](mailto:cd64constantin@yahoo.com)

### Rezumat

Falsificarea documentelor este o activitate infracțională care produce pierderi anuale de miliarde de dolari în întreaga lume. Hârtia securizată este printre cele mai importante elemente utilizate în lupta contra falsificării documentelor publice sau private. Continua diversificare și creștere în complexitate a tehnicilor de securizare a hârtiei este una din cele mai importante căi de limitare a încercărilor de falsificare. Nanoparticulele magnetice sunt o varianta viabila de securizare a hârtiei. Literatura menționează diverse metode de obținere a hârtiei încărcate cu nanoparticule magnetice. Lucrarea prezintă rezultatele unui studiu referitor la influența nanoparticulelor magnetice asupra proprietăților hârtiei.

**Cuvinte cheie:** Hârtie securizată, Coloizi, Nanoparticule magnetice, Falsificare, Documente de valoare

### Abstract

Document forgery is a criminal activity that causes billion dollar losses each year worldwide. Security paper is among the most important ingredients used in the fight against the forgery of private or public documents. The continuous diversification and sophistication of the paper securing techniques is one of the most important ways to erect fences against forgery attempts. Magnetic nanoparticles are a good candidate for securing elements of security paper. Various methods for the synthesis of paper loaded with magnetic nanoparticles has been reported in the literature.

We present the results of a study concerning the influence of the loading of magnetic nanoparticles on the paper's properties.

**Keywords:** Security paper, Colloids, Magnetic nanoparticles, Forgery, Value documents

## I. INTRODUCERE

Hârtiile destinate tipăririi documentelor de valoare fac parte din categoria hârtiilor speciale. Deși cantitativ au o pondere redusă în producția mondială de hârtii și cartoane, acestea au o importanță economică deosebită și un anumit rol personal și social bine definit.

Cel mai mare risc la care sunt expuse documentele de valoare îl reprezintă riscul contrafacerii și falsificării. Se falsifică documentele de valoare fixă (bancnote, cecuri, documente de proprietate etc.), documente cu valoare negociabilă (cecuri bancare, etc.) și documente sociale personale (acte de identitate, pașapoarte, diplome de studii etc.).

Hârtiile de valoare sunt hârtii de calitate superioară având caracteristici fizico-mecanice - rezistență mecanică ridicată, comportare foarte bună la tipărire (pe aceste hârtii se pot imprima desene de mare finețe, în mai multe culori, pentru evitarea falsificării) și rezistență deosebită în circulație. În afară de aceste caracteristici hârtia destinată tipării actelor de valoare trebuie să conțină o serie de elemente de securitate care să o facă greu de falsificat.

Pentru ca securitatea documentelor să fie cu un pas înaintea tehnicilor, în evoluție, folosite de către cei care se ocupă de contrafaceri și falsificări, se impune ca și sistemul de securizare să fie mereu dinamizat cu noi elemente de securitate, cât mai complexe. Pe de altă parte, fiecare document se realizează pe un anumit sortiment de hârtie securizată, ceea ce înseamnă că tipărirea unui număr mai mare de documente impune automat și diversificarea grupei de hârtii securizate.

Elementele care pot fi utilizate pentru securizarea hârtiilor pot fi: microparticule (nanoparticule) complexe în următoarele variante:

- Pigmenți organici sau minerali fluorescenți
- Pigmenți sub formă de pulberi magnetice fluorescente sau coloizi magnetici
- Microparticule inteligente de tip MHC – microparticule metalizate holografice codate

Astfel, pigmenții - microparticule de natură minerală sau organică asigură prin compatibilitatea lor și randamentul de retenție în compoziția hârtiei funcția de element de securizare. Detecția acestor microparticule este dată prin culoarea pe care o prezintă în domeniul vizibil și de prezentarea fenomenului de fluorescență în prezența radiațiilor UV.

O altă grupă nouă de microparticule, care pot fi introduse în structura hârtiei se referă la pulberile magnetice fluorescente sau coloizi magnetici. Spre deosebire de prima categorie de microparticule, pulberile magnetice fluorescente mai vin în plus cu o proprietate care poate fi "speculată" în procesul de securizare a hârtiei și anume – proprietățile magnetice ale acestora, care pot fi validate electronic cu ajutorul unui echipament de detecție, specializat în acest sens.

Următoarea grupă de microparticule este reprezentată de elementele cele mai complexe care pot fi folosite la securizarea hârtiei – microparticule inteligente de tip MHC (metalice holografice codate). Aceste elemente metalice holografice au dimensiunile cuprinse între 50 nm și 1 mm și se amplasează pe una dintre suprafețele hârtiei. Conțin un substrat cu o structură de

difracție în relief – o imagine holografică, iar printr-o deschidere a elementului metalic (decuparea suportului metalic) se inscripționează un cod alfanumeric de autentificare. Elementele de codare a microparticulei inteligente pot fi identificate cu ajutorul unei lupe sau a unui microscop. Pornind de la aceste date, lucrarea și-a propus să extindă gama de hârtii securizate folosind ca elemente de securizare nanoparticule din coloizi și pulberi cu proprietăți magnetice.

Noua tehnologie de securizare va avea particularități specifice fiecărui tip de microparticulă care va intra în componența hârtiei (în masă sau la suprafața hârtiei).

În acest fel, cercetarea va oferi producătorului de hârtii și implicit tipografiilor autorizate în domeniul realizării documentelor de valoare, o varietate mai mare de elemente de securitate bazate pe realizarea unor combinații diverse între indicatorii de securizare sau oferirea întregului sistem. Aceasta deschide posibilitatea obținerii unor soluții particularizate și unice pentru fiecare document. Pe baza acestor caracteristici, se poate asigura trasabilitatea produsului pentru fiecare lot, plecând de la producătorul de hârtie, tipografia care a realizat documentul și beneficiarul final al acestuia.

## II. PARTEA EXPERIMENTALĂ

Pentru securizarea hârtiei au fost folosite nanoparticule magnetice de magnetită sub formă de coloid magnetic pe bază de apă și sub formă de pulberi compozite. Nanoparticulele magnetice sub formă de coloid au fost elaborate prin metoda coprecipitării chimice [Bica et.al. 2007], după care au fost stabilizate cu un strat dublu de acid lauric și apoi au fost dispersate în apă la o concentrație volumică de ~2%. Pulberile magnetice compozite au fost obținute prin precipitare în prezența ionilor metalici.

Caracterul inovativ al acestor elemente de securitate este dat de unicitatea folosirii lor la nivel național, în structura hârtiei, lărgind astfel aria de utilizare a nanoparticulelor.

Introducerea nanoparticulelor magnetice din coloizi și din pulberi compozite în compoziția hârtiei s-a realizat în masă, prin tehnici speciale de reținere pe fibră. Astfel se asigură o reținere avansată a acestora în structura hârtiei, obținându-se un efect bun de securizare a hârtiei.

Experimentările au avut ca obiective:

- înglobarea în structura fibroasă a hârtiei a nanoparticulelor magnetice de magnetită din coloid și din pulberi compozite
- influența lor asupra caracteristicilor fizico – mecanice și de tipărire a hârtiei.

S-au folosit diferite rețete având în compoziție numai amestec din materii prime fibroase la diferite grade de măcinare și rețete formate din materiale fibroase, materiale de umplere, agenți de retenție și încliere, stabilindu-se o compoziție optimă a foilor de hârtie obținute din amestecurile menționate. Pentru experimentări s-au folosit ca *matrii prime fibroase*:

- celuloză sulfat albită fibră scurtă- produsă de Grupul ILIM – Rusia în proporție de 70%
- celuloză sulfat albită fibră lungă- produsă de Bukocel - Slovacia în proporție de 30%

*Materii prime auxiliare:*

- material de umplere - carbonat de calciu
- agent de încliere – Aquapel
- agentul de retenție – Cartaretin F
- coloid cu proprietăți magnetice dozat în diferite proporții în pastă. Coloidul cu proprietăți magnetice folosit este de tipul - MF/H20, cu densitate:  $\rho = 1,0779 \text{ g/cm}^3$ .
- pulberi compozite cu copoziție diferită de magnetită

Celulozele au fost măcinate în holendrul Valley la un grad de măcinare de 38 - 40°SR pentru celuloză sulfat albită fibră scurtă și,

respectiv, la un grad de măcinare de 42 -45°SR, pentru celuloză sulfat albită fibră lungă.

S-au realizat seturi de probe din hârtie obținute din paste cu diferite compoziții de materiale fibroase și auxiliare la diferite adaosuri procentuale de coloid și pulberi cu proprietăți magnetice.

Elementul de securizare magnetita sub cele două forme a fost introdusă în suspensia formată din amestecuri de materiale fibroase și agenți de retenție și încliere. Suspensia astfel obținută s-a deshidratat pe aparatul Rapid Kothen, iar foile de hârtie formate s-au uscat la temperatura de 93°C, timp de 6 min.

### III. REZULTATE ȘI DISCUȚII

#### Analiza proprietăților fizico-mecanice ale foilor de hârtie obținute numai din amestec de celuloze

Probele de hârtie obținute prin deshidratarea pastei formată numai din amestec de celuloze cu diferite adaosuri de coloid au fost : P0 – 0% coloid, P1- 1% coloid, P2 – 5% coloid, P3 – 10% coloid, P4 – 25% coloid.

Probele de hârtie astfel obținute au fost condiționate și analizate fizico – mecanic în Laboratorul de încercări fizico-mecanice al S.C. CEPROHART S.A., acreditat RENAR. Rezultatele obținute sunt prezentate în tabelul 1.

*Tabelul 1 Proprietățile fizico/mecanice ale foilor de hârtie cu diferite adaosuri de coloid*

Nr.crt.	Caracteristica determinată, UM	Proba de hârtie din amestec de celuloze cu diferite adaosuri de coloid				
		P0	P1	P2	P3	P4
1.	Gramaj, g/m <sup>2</sup>	69,7	70,5	71,3	72,7	71,1
2.	Grosime, mm.	0,098	0,098	0,101	0,101	0,100
3.	Densitate, g/cm <sup>3</sup>	0,71	0,72	0,71	0,72	0,71
4.	Lungime de rupere, m.	6.293	7.030	6.940	7.007	6.769
5.	Porozitate Gurley, F/S	115/115	129/125	138/126	128/123	125/124
6.	Grad de alb, %	56,32	39,55	33,58	27,99	21,07

Din rezultatele obținute la determinările fizico – mecanice ale probelor de hârtie analizate putem observa următoarele :

1. Adaosul de coloid nu influențează semnificativ caracteristicile fizico – mecanice ale hârtiei idiferent de adaosul de coloid folosit, putem însă observa o ușoară îmbunătățire a caracteristicii –

lungimii de rupere, ce evidențiază legături slabe între coloid și matricea celulozică.

2. Pe suprafața activă a amestecului de celuloze coloidul este ușor adsorbit, fenomen evidențiat la dozarea coloidului în suspensia de celuloze la formarea probelor.
3. Retenția coloidului în probele de hârtie analizate bună, analiza colorimetrică a

apelor rezultate la deshidratarea suspensiilor formate din amestecuri de celuloză și coloid, a evidențiat acest lucru.

4. Gradul de alb este influențat semnificativ deoarece culoarea coloidului este brună, cu mărirea adaosului valoarea gradului de alb se micșorează.

Foile obținute cu adaosuri diferite de de coloid au fost analizate optic la spectrometru Matrix – F, produs de BRUKER OPTICS cu

absorbție în IR apropiat. Rezultatele obținute sunt prezentate în figura 1.

Valoarea absorbției luminii în spectrul IR apropiat crește odată cu creșterea concentrației nanoparticulelor adsorbite pe suprafața fibrelor celulozice din hârtie. Această proprietate a nanoparticulelor magnetice folosite ca element de securizare în hârtie lărgeste aria de detecție folosită.

Valoarea absorbției

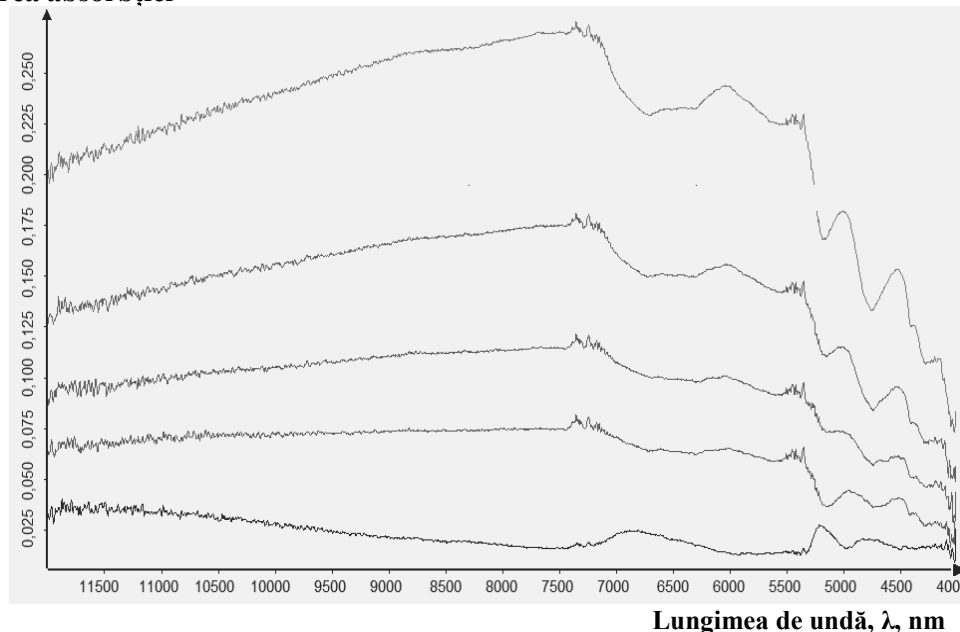


Fig.1. Curbele de absorbție a luminii în spectrul IR apropiat

Pentru a diminua influența asupra gradului de alb s-a stabilit utilizarea unui adaos mai mic de coloid sub 1%, care nu va afecta proprietățile de securizare ale hârtiei. Pentru verificarea acestui adaos și influența lui în proprietățile fizico - mecanice ale hârtiei s-au realizat cinci seturi de probe în suspensie formate din amestec de celuloze păstrându-se constante caracteristicile materialului fibros folosit, adăugându-se diferite

dozaje de coloid în domeniul: 0,1%-0,8%, suspensiile astfel obținute au fost deshidratate, foile de hârtie obținute au fost uscate, condiționate și analizate fizico-mecanic, rezultatele obținute sunt prezentate în tabelul 2. Foile de hârtie analizate au avut următoarele adaosuri de coloid: P1/0-0% coloid, P1/1-0,1% coloid, P1/2-0,2% coloid, P1/3-0,4% coloid, P1/4-0,6% coloid, P1/5-0,8% coloid.

Tabelul 2 Proprietățile foilor de hârtie tratate cu adaosuri reduse de coloid

Nr.crt.	Caracteristica determinată, UM	Proba de hârtie din amestec de celuloze cu diferite adaosuri de coloid					
		P1/0	P1/1	P1/2	P1/3	P1/4	P1/5
1.	Gramaj, g/m <sup>2</sup>	73,1	72,6	72,9	73,2	74,6	75,9
2.	Grosime, mm.	0.114	0,113	0,114	0,113	0,114	0,118
3.	Densitate, g/cm <sup>3</sup>	0,64	0,64	0,64	0,65	0,65	0,64
4.	Lungime de rupere, m.	6.493	6.600	6.540	6.607	6.769	6700
5.	Porozitate Gurley, F/S	41/40	42/40	43/42	40/39	41/40	43/42
6.	Grad de alb, %	65,44	62,56	63,51	62,54	61,96	61,21

Din rezultatele prezentate în tabelul 2 se poate observa o scădere mică a gradului de alb cu aproximativ 2-4 unități, în acest domeniu de dozare, caracteristicile fizico-mecanice analizate rămân nemodificate față de rezultatele obținute la analizele inițiale. Rezultatele obținute în acest domeniu al adaosului de coloid, au permis continuarea cercetării cu aceste concentrații de nanoparticule magnetice în hârtie. Au fost realizate probe de hârtie obținute prin deshidratarea pastei având următoarea compoziție:

- celuloză fibră scurtă – 70 %
- celuloză fibră lungă – 30
- material de umplere – carbonat de calciu – 15%

- agent de încliere – Aquapel – 2%
- agentul de retenție – Cartaretin F – 0,5%

Din pasta de hârtie având compoziția menționată s-au realizat 4 seturi de probe cu diferite adaosuri procentuale de coloid cu proprietăți magnetice astfel:

Setul P2/0 fără adaos de coloid, setul P2/1 cu adaos de 0,2% coloid, setul P2/2 cu adaos de 0,6% coloid

setul P2/3 cu adaos de 1% coloid

Foile de hârtie obținute cu diferite adaosuri de coloid au fost condiționate și analizate fizico – mecanic, rezultatele obținute sunt prezentate în tabelul 3.

*Tabelul 3 Proprietățile fizico-mecanice și structurale ale probelor de hârtie cu adaos de coloid în domeniul 0,2% - 1%*

Nr. crt.	Caracteristica determinată	UM	Proba de hârtie cu diferite adaosuri de coloid			
			P2/0	P2/1	P2/2	P2/3
1	Gramaj	g/m <sup>2</sup>	77,3	79,0	76,3	76,3
2	Grosime	mm	0,100	0,102	0,101	0,102
3	Densitate	g/cm <sup>3</sup>	0,77	0,77	0,76	0,75
4	Lungime de rupere	m.	8725	8.408	8.396	8164
5	Porozitate Gurley	F/S	164/158	160/158	150/137	139/139
6	Grad de alb	%	76,80	59,90	54,58	48,88
7	Rezistența la îndoire		217	277	187	162
8	Absorbția Cobb <sub>60</sub>	g/m <sup>2</sup>	24,2	23,6	23,9	24,7

Adaosul de coloid în acest interval de dozare nu influențează semnificativ caracteristicile fizico – mecanice ale hârtiei obținute. Retenția coloidului în probele de hârtie analizate este mai bună decât retenția din amestecul de celuloze analizat în etapa anterioară observație rezultată din analiza comparativă a scăderii gradului de alb pentru probele cu același adaos de 1% coloid. Pentru a reduce influența gradului de alb din hârtia securizată magnetic cu element de securizare din coloid s-au sintetizat o serie de compuși noi obținuți prin precipitarea magnetitei cu diferite

metale care au o influență mai mică asupra gradului de alb și nu influențează în mod semnificativ magnetizația hârtiei. Compușii denumiți - pulberi compozite au fost obținuți la Academia Romana – Filiala Timisoara, Centrul de Cercetari Tehnice Fundamentale si Avansate, *Laboratorul de Lichide Magnetice*. Aceste pulberi compozite au fost dozate în pasta de hârtie **la un adaos de 0,02% magnetită**.

Rezultatele obținute din analizarea fizico – mecanică a foilor cu adaos de pulberi obținute în laborator sunt prezentate în tabelul 4.

*Tabelul 4 Caracteristicilor probelor de hârtie cu adaos de pulberi compozite*

Nr. crt.	Caracteristica determinată	UM	Proba de hârtie cu diferite adaosuri de pulberi compozite			
			P0M	P1M	P2M	P3M
1	Gramaj	g/m <sup>2</sup>	79,3	80,6	78,2	80,4
2	Grosime	mm	0,112	0,115	0,111	0,118
3	Densitate	g/cm <sup>3</sup>	0,71	0,70	0,70	0,68
4	Lungime de rupere	m	7.161	6.492	6.060	6.018
5	Porozitate Gurley	Media F/S	52	53	47	36
6	Grad de alb	%	56,65	58,63	58,91	59,84
7	Rezistența la îndoire	Nr.	370	260	222	181
8	Absorbția Cobb <sub>60</sub>	g/m <sup>2</sup>	29,3	33,8	34,1	-

Din analiza comparativă a valorii gradului de alb observăm o ușoară creștere a acestei caracteristici la aceeași cantitate de magnetită - 0,02 % dozată, din aceste rezultate putem aprecia că influența negativă a magnetitei asupra gradului de alb poate fi rezolvată pe această cale.

Caracteristicile fizico - mecanice și de tipărire ale probelor analizate scad odată cu micșorarea conținutului de magnetită din pulberea dozată, dar pe foile de hârtie obținute având aceste caracteristici se poate tipări.

### Caracterizarea magnetică a probelor de hârtie

Caracterizarea magnetică a probelor de hârtie cu adaos de nanoparticule magnetice de magnetită sub cele două forme a fost realizată de *Centrul National pentru Ingineria Sistemelor cu Fluide Complexe* din cadrul *Universitatii "Politehnica" Timișoara.*

Magnetizația masică a probelor a fost măsurată prin metoda probei vibrante (Vibrating

Sample Magnetometry - VSM) cu un magnetometru VSM 880 (DMS/ADE Techn., USA) la temperatura camerei (~25 °C).

În figura 2 sunt prezentate curbele de magnetizație masică ( $\text{emu/g}_{\text{hartie}}$ ) funcție de câmpul magnetic aplicat (A/m) pentru cele 5 probe de hârtie din amestec de celuloze.

Probele de hârtie din amestec de celuloze cu nanoparticule de magnetită (P1 – P4) prezintă o magnetizație de saturație crescătoare, corespunzător cu procentul de coloid magnetic adăugat. Proba P0, fără coloid, prezintă magnetizare. Curba de histereză a magnetizării indică prezența unui material feromagnetic în structura hârtiei, provenind din conținutul de fier al celulozelor folosite, s-a estimat o cantitate de 68 micrograme Fe la 1 gram hartie. Proba P1, cu cel mai mic procent de coloid adăugat (1%), prezintă o magnetizație de saturație semnificativ mai mare decât proba P0.

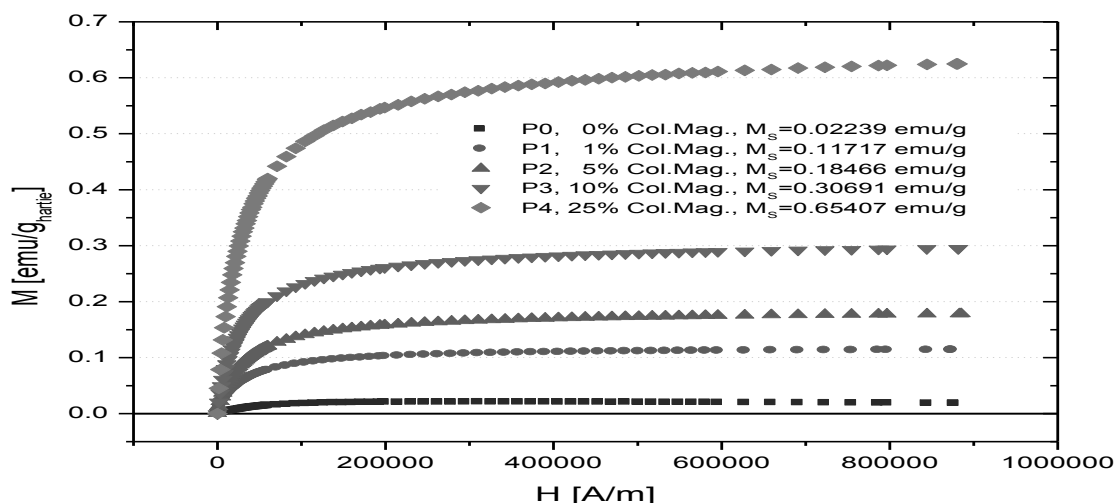


Fig. 2 Curbele de magnetizație masică pentru hârtie obținută din amestec de celuloze

În Figura 3 sunt prezentate curbele de magnetizație masică ( $\text{emu/g}_{\text{hartie}}$ ) funcție de câmpul magnetic aplicat (A/m) pentru cele 4

probe de hârtie cu retentor. În Figura 4 sunt prezentate curbele de histerezis a probelor în zona de câmpuri mici.

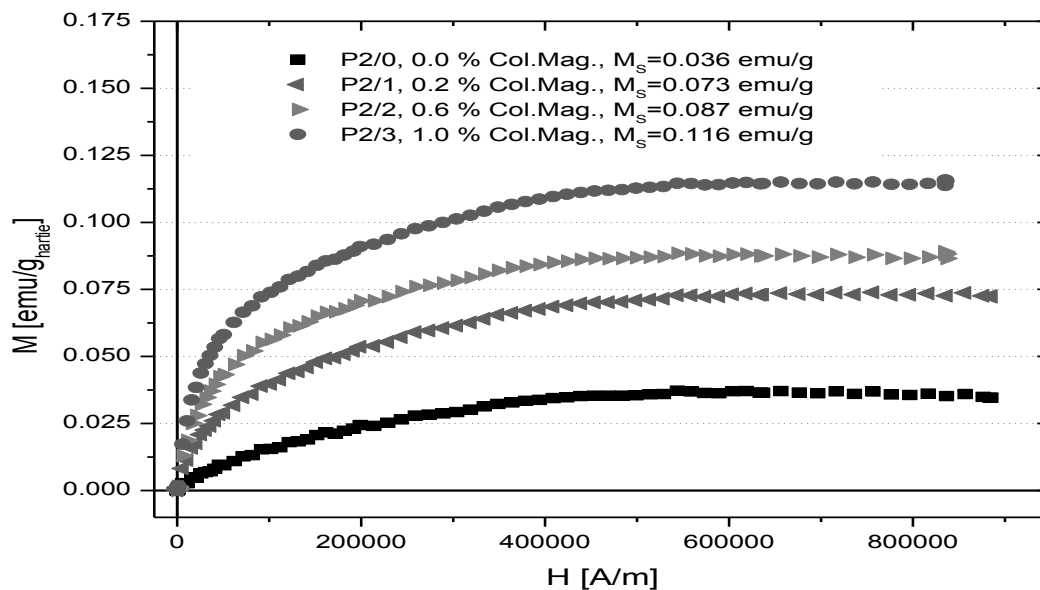


Fig. 3. Curbele de magnetizație masică pentru hârtie cu retentor și coloid

Probele de hârtie cu nanoparticule de magnetită (P2/1 – P2/3) prezintă o magnetizare de saturație crescătoare cu procentul de coloid magnetic adăugat. Toate probele prezintă o magnetizare remanentă. Valorile magnetizării remanente sunt aproximativ egale pentru probele P2/1-3, puțin mai mici decât pentru proba P2/0. Având în vedere valorile foarte mici precum și precizia aparatului de măsură, se poate considera

că toate probele prezintă aceeași magnetizare remanentă. Existența magnetizării remanente indică prezența unui material feromagnetic în structura tuturor probelor de hârtie, cel mai probabil fier. În ipoteza că fierul monocristalin constituie impuritatea feromagnetică ( $M_{\text{sat-Fe}}=217\text{emu/g}$ ), a fost estimată cantitatea de fier din P2.

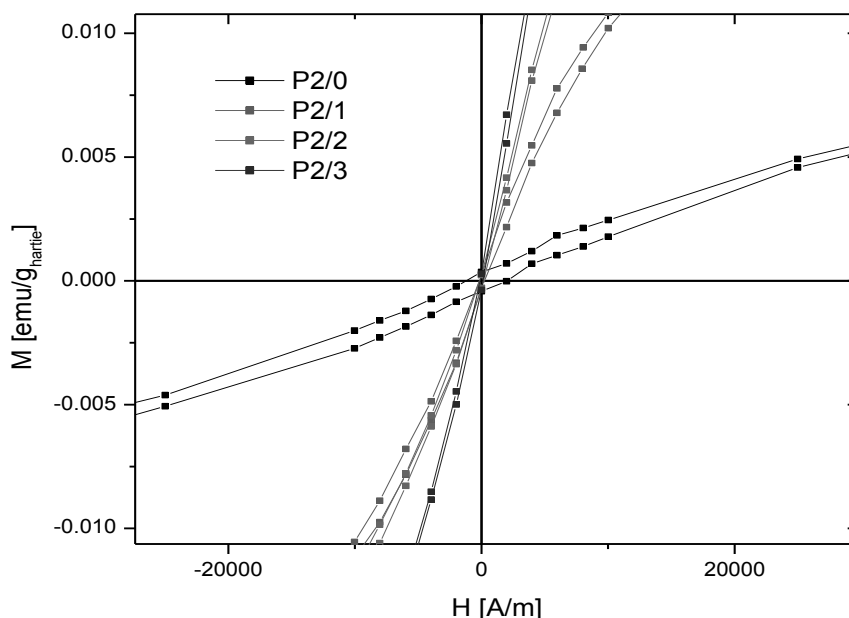


Fig. 4. Curbele de histerezis

În Figura 5 de mai jos sunt prezentate curbele de magnetizare masică ( $\text{emu/g}_{\text{hartie}}$ ) funcție de câmpul magnetic aplicat (A/m) pentru cele 4 probe de hârtie cu pulberi compozite. În Figura 6

sunt prezentate curbele de magnetizare ale celor trei probe încărcate magnetic (P1,2,3M) din care s-a scăzut magnetizarea probei P0M.

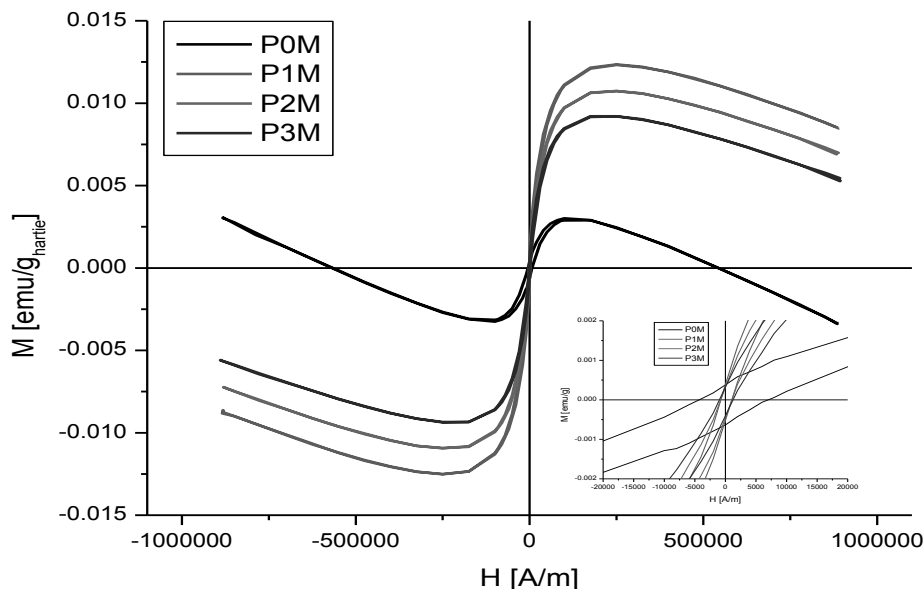


Fig. 5 Curbele de magnetizație masică pentru hârtie cu retentor și pulberi compozite

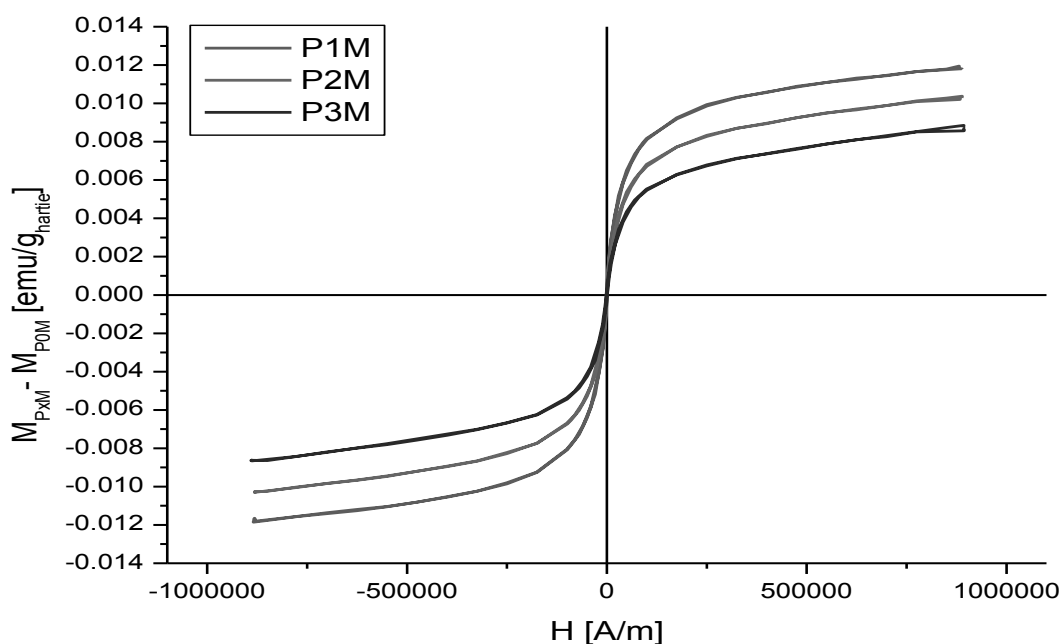


Fig. 6. Curbele de magnetizație masică pentru hârtie cu retentor și pulberi compozite fără magnetizarea probei P0M

Probele de hârtie încărcate magnetic cu pulberi compozite (P1M – P3M) prezintă o magnetizație de saturatie crescătoare cu gradul de încărcare magnetică a pulberii utilizate (figura 6). Magnetizarea de saturatie a hârtiilor încărcate este foarte mică. Datorită gradului scăzut de încărcare, diamagnetismul celulozei are o pondere semnificativă. Diferențele dintre magnetizările de saturatie ale probelor P1-3M și magnetizarea de saturatie a probei P0M nu sunt proportionale cu

gradul de încărcare magnetică a pulberii utilizate la elaborare, ceea ce indică o discrepanță între valorile de încărcare magnetică proiectate și realizate.

În urma rezultatelor obținute din analiza foilor de hârtie cu retentor la un dozaj de 0,02% magnetită din coloid și sub formă de pulberi se poate realiza o tehnică de detecție precum și un instrument portabil, la nivelul de

sensibilitate cerut pentru a detecta semnale în jurul valorii de 0,1 emu/g.

#### Analiza microscopică a foilor de hârtie

Analiza microscopică a foilor de hârtie din amestec de celuloze pentru cele 4 probe analizate au arătat o distribuție uniformă a nanoparticulelor în structura fibroasă a hârtiei, după cum se poate observa în imaginile din figura 7.

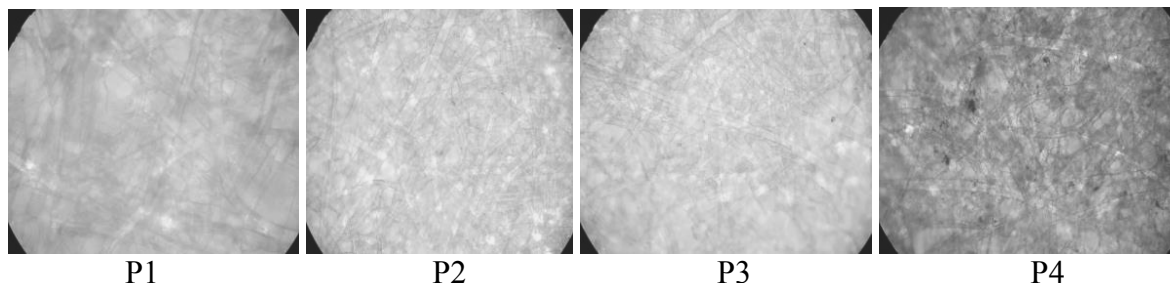


Fig. 7 Structura hârtiilor din amestec de celuloze – imagini la microscop

#### IV. CONCLUZII

- Experimentările au demonstrat că nanoparticulele magnetice de magnetită pot fi utilizate ca elemente de securizare a hârtiilor speciale destinate tipării documentelor de valoare.
- Nanoparticulele nu afectează proprietățile fizico-mecanice ale hârtiei dozate în domeniul de lucru folosit.
- Influența negativă asupra gradului de alb poate fi diminuată prin folosirea pulberilor compozite. Rezultatele obținute din măsurarea caracteristicilor probelor P1M, P2M, P3M au evidențiat acest lucru.
- Datorită dimensiunilor nanoparticulelor pot fi utilizate cantități mici de element de securizare, cercetările au evidențiat acest lucru.
- Randamentul de retenție bun și distribuția uniformă pe suprafața hârtiei, fac posibilă utilizarea economică a nanoparticulelor. (Fig. 5 Imaginile microscopice)
- Pentru hârtiile care nu necesită un grad de alb ridicat se pot folosi nanoparticulelor din coloid care favorizează formarea de legături chimico-coloidale - nanoparticule – fibre celulozice.
- Prin faptul că nanoparticulele au rezistență chimică, rezistență la temperaturi ridicate și dimensiuni mici sunt greu distruse.
- Datorită tehnologiei de dozare în masa hârtiei sunt greu de imitat/contrafăcut.
- Securizarea hârtiei folosind nanoparticule asigură trasabilitatea produsului, permite identificarea legală și în cazul documentelor arse. Suplețea acestei tehnologii este dată de precizie, fiabilitate, productivitate foarte înaltă și nu în ultimul rând de posibilitatea ridicată de a conduce automatizat procesele defabricație.
- Pentru mărirea randamentului de retenție sunt necesare grade de măcinare mai ridicate ale materiilor prime fibroase utilizate, care conduc la mărirea consumurilor energetice.

**Această cercetare** contribuie la diversificarea sortimentelor de hârtii speciale, grupa de vârf a produselor papetare, prin realizarea unui nou element de securizare a hârtiilor destinate obținerii documentelor de valoare a căror autenticitate se poate verifica în viitor concomitent prin două metode: detecție magnetică și detecție optică - cu ajutorul radiațiilor UV.

#### V. BIBLIOGRAFIE

1. R.H. Marchessault, P.Rioux, L.Raymond, Polymer 33 (19) (1992) 4024-4028;
2. Small A.C., J.H. Johnston, Journal of Colloid and Interface Science, 331 (2009) 122-126;
3. C.H. Chia, S. Zakaria, S. Ahamd, M. Abdullah, S. Mohd. Jani. American Journal

- of Applied Sciences 3 (3) (2006) 1750-1754;
4. C. Constantin, D. Buteica, V. Socoliuc, oral presentation at *The 6th International Symposium on Advanced Technologies for the Pulp and Paper Industry, Braila – Romania, September 6 – 9, 2011*, available online at <http://www.ceprohart.ro/documente/Volum%20lucrari.pdf>, pp.184-190 (in Romanian);
  5. Zăpodeanu, I., Radu, A., Radu, M., Gavrilă, I., Stanciu, C., Cârâc, G., Dumitriu, P., Aniculăesei, G., *Aspecte teoretice și practice privind realizarea elementelor de securizare a hârtiilor pentru documentele de valoare*, Simpozion internațional, Brăila, 3-5 septembrie, 2008.
  6. D. Bica, L. Vékás, M. V. Avdeev, Oana Marinică, V. Socoliuc, Maria Bălăsoiu, V.M. Garamus: “*Sterically stabilized water based magnetic fluids: synthesis, structure and properties*”, Journal of Magnetism and Magnetic Materials Nr. 311 (2007) pag.17
  7. Diaconescu V., Obrocea P., „*Tehnologia celulozei și hârtiei*”, vol II – „*Tehnologia hârtiei*”, Ed. Tehnică, București, 252, (1976)
  8. Obrocea P., Bobu E., „*Bazele fabricării hârtiei*”, vol.I, Iași, 191, (1993)
  9. Obrocea P., Bobu E., Gavrilesu D., „*Tehnologia celulozei și hârtiei*”, vol. II, Iași, 93, (1987)
  10. Stanciu, C., *Hârtiile de valoare – fabricație, utilizare și protecție împotriva falsificărilor și contrafacerilor*, Ed. CEPROHART, 2003
  11. Stanciu, C., *Protecția hârtiei – reguli care stau la baza filozofiei de protecție a hârtiilor de valoare*, Seminar național “Hârtiile de valoare – caracteristici de suprafață și caracteristici de securitate”, Brăila, 5 iulie, 2007.

## POLYSACCHARIDES UTILIZATION FOR WATER DECONTAMINATION

Andreea-Eliza Farkas <sup>\*</sup>, Dan Scutaru <sup>\*\*</sup>, Doru Neculai Miron <sup>\*</sup>, Ana-Maria Roșu <sup>\*</sup>,  
Ramona Mihaela Zavada <sup>\*</sup>, Ileana Denisa Nistor <sup>\*</sup>

<sup>\*</sup> "Vasile Alecsandri" University of Bacău, 157, Calea Marășesti, 600115, Bacău

<sup>\*\*</sup> "Gheorghe Asachi" University of Iasi, 67, Dimitrie Mangheron, 700050, Iasi

Author correspondence: Vasile Alecsandri" University of Bacău, 157, Calea  
Mărășești, 600115, Bacău, [farkas.andraeliza@yahoo.com](mailto:farkas.andraeliza@yahoo.com)

### Abstract

Industrial water represents an important factor of pollution. In this context, we wanted to conduct a study on the retention of pollutants from water on the surface of certain polysaccharides. These polysaccharides were cellulose and derivatives obtained by chemical modification of cellulose into: CMC and AC. The study involves analysis of wastewater before and after filtration. Filtration was realized with a filter on which surface was polysaccharides. Measurements pursued were: analysis of sulphides, chlorides (Mohr method), cyanide (titrimetric method by Tyndall effect) and determination of pH. The results obtained showed that each of the cellulose derivatives appears to be specific for the retention of certain pollutants, as follows: cellulose and AC retain the sulphides, chlorides are retained in the largest amount by AC, and CMC retains largest quantity of cyanide. pH of polluted water, which was initially at weak base (pH = 8.36) was influenced by filtration through polysaccharides studied, changing his value (8.11 after filtration with CMC, 7.98 after filtration with AC and 7.74 after filtration with cellulose). The results show that the polysaccharides studied have the ability to retain from water the pollutants studied. Chemical modification of cellulose has a positive influence on the capacity of retention, especially of cyanide, in a proportion of more than 80%.

**Keywords:** Waste waters, Polysaccharides, Filtration, Pollutants

### Rezumat

Apa este o resursă critică și nevoia de resurse de apă dulce din întreaga lume va deveni din ce în ce mai critică, pe măsură ce populația lumii crește și apar schimbările climatice [1]. Activitatea umană influențează mediul și natura într-un mod negativ și în mai multe feluri [2]. Cercetarea în diferite domenii privind resursele de apă, cum ar fi: managementul, politica, poluanții din surse difuze, apele uzate, nutrienții și calitatea apei a crescut semnificativ în ultimii ani [1, 3]. Apa industrială reprezintă un factor important de poluare, motiv pentru care au fost realizate mai multe programe pentru reducerea cantităților de ape uzate [4, 5]. În literatura de specialitate au fost raportate cercetări privind decontaminarea apei folosind derivați de celuloză, cum ar fi: celuloză dietilaminoetil (DEAE), acetat de celuloză (CA), sodium carboximetilceluloză (CMC) și, de asemenea, celuloză. S-a raportat, de asemenea, eliminarea cu succes a coloranților [6, 7], a metalelor bivalente [8-10] și a metalelor grele [11]. În acest context, ne-am dorit să dezvoltăm un studiu referitor la retenția poluanților din apă pe suprafața anumitor polizaharide. Aceste polizaharide sunt celuloza și derivații obținuți prin modificarea chimică a celulozei în: CMC și AC [12]. Studiul implică analiza apelor uzate înainte și după filtrare. Filtrare a fost realizată cu un filtru cu polizaharide. Măsurătorile urmărite au fost: analiza de sulfuri, cloruri (metoda Mohr), cianuri (metoda tritrimetic cu efect Tyndall) și determinarea pH-ului. Rezultatele obținute au arătat că fiecare dintre derivații de celuloză par să fie specifici pentru retenția anumitor poluanți, după cum urmează: celuloză și AC păstrează sulfuri, clorurile sunt cel mai bine reținute

de AC, iar CMC-ul păstrează cea mai mare cantitate de cianură. pH-ul apei poluate, care a fost inițial bază slabă (pH = 8.36) a fost influențat de filtrarea prin polizaharidele studiate, schimbându-și valoarea (8,11 după filtrare cu CMC, 7,98 după filtrare cu AC și 7,74 după filtrare cu celuloză). Rezultatele arată că polizaharidele studiate au capacitatea de a reține din apă poluanții studiați. Modificarea chimică a celulozei are o influență pozitivă asupra capacității de retenție, în special a cianurii, într-o proporție mai mare de 80%.

**Cuvinte cheie:** Ape uzate, Polizaharide, Filtrare, Poluanți

## I. INTRODUCTION

Water is a critical resource, and the shortage of freshwater resources worldwide will only become more critical as the world population increases and climate changes [1]. Human activity adversely affects nature in many forms [2]. In the last 20 years, research in various domains concerning water resources such as: management, politics, pollutants from diffuse sources, wastewaters, nutritive substances and water quality has gone up significantly over the past 20 years [1, 3]. Industrial water represents a very important pollution factor, grounds on which several programs to reduce it have been made [4, 5]. Management of water resources offers a multitude of challenges and depending on the progression of science, technology and policy making, requires integrated closeness for it to be successful [1]. The importance of freshwater availability was realized through the UN's General Secretary press release concerning the International Water Day in 2002. "It is estimated that approximately 1.1 billion people do not have access to drinkable water, 2.5 billion don't have access to sewerage and more than 5 million people die each year due to diseases related to water sanitation, these numbers being on average 10 times bigger of those killed in wars. Most often water is viewed like a infinite free good. Nevertheless, even if deliveries are sufficient or abundant, the risk of pollution and demand go up. By the year 2025 two thirds of the World's population could be residing in countries with moderate or severe water deficits" [6]. In literature there have been reported research regarding depollution of water using cellulose derivatives, like diethylaminoethyl cellulose (DEAE), cellulose acetate (CA), carboxymethyl cellulose (CMC) and cellulose, registering success in removing dyes [7, 8], some bivalent metals (Fe, Ni) [9,

10, 11] and some heavy metals (Cu, Pb) [12]. Wastewaters from the chemical industry contain among liquid particles and insoluble solids numerous organic components and inorganic soluble [13].

In the present work is showed a study of retaining sulphides, chlorides and cyanide ions towards a efficient depollution with the help of three polysaccharides : cellulose, cellulose acetate (CA) and carboxymethyl cellulose. The sulphides, cyanides and cyanide ions are but a few of the pollutants that present a negative effect on human health [14, 15, 16], and concurrently lead to critical problems in the sewerage systems [14].

The water's pH is described as "an important variable" to many physical and biological processes in natural [17] on account for the study includes the pH analysis of polluted water from the chemical industry.

## II. EXPERIMENTAL

### 2.1. Water preparation

Analyses were done on residual waters from the chemical industry.

The polluted waters were filtered through a layer of polysaccharide, after which the following tests were done: determination of the content of sulphides, cyanides and cyanide ions and determination of the pH.

### 2.2. Analyses of sulphides

The method used for the determination of sulphides content in used water corresponds to STAS: SR 7510:1997 *This reproduction was made with the consent of Standardization Association of Romania – ASRO nor. LUC/13/161 of 29.07.2013.*

The content of sulphates is expressed in milligrams per litre and is calculated with the formula that corresponds to SR 7510:1997

*This reproduction was made with the consent of Standardization Association of Romania – ASRO nor. LUC/13/161 of 29.07.2013:*

$$\text{Sulfuri}(S^{2-}) = (V_1 \cdot f_1 - V_2 \cdot f_2) \cdot 0.1 \cdot 16.04 \cdot \frac{1000}{V}$$

[mg/ l]

V – volume of water sample used for analysis;

V<sub>1</sub> – volume of iodine solution used for determination, (ml);

For dilutions, the relation is multiplied by the dilution ratio  $r = V_3/V_4$ , where:

V<sub>3</sub> – volumetric flask volume in which the dilution is made, (ml);

V<sub>4</sub> – volume of sample, (ml);

### 2.3. Determination of cyanide ions – Tyndall method

The protocol used for cyanide ions determination corresponds to STAS: SR ISO 6703-1:1998 *This reproduction was made with the consent of Standardization Association of Romania – ASRO nor. LUC/13/161 of 29.07.2013.*

The calculation for determination of total cyanide concentration, expressed in milligrams per liter is given by the formula according to SR ISO 6703-1:1998 *This reproduction was made with the consent of Standardization Association of Romania – ASRO nor. LUC/13/161 of 29.07.2013:*

$$CN^- = \frac{(V_1 + V_2 - V_0) \cdot f_1 \cdot 1000}{V}$$

V<sub>0</sub> – total volume (ml) of Ag NO<sub>3</sub> solution used for two titration of blank;

V<sub>1</sub> – volume (ml) of AgNO<sub>3</sub> solution used for first titration;

V<sub>2</sub> – volume (ml) of AgNO<sub>3</sub> solution used for second titration;

V – volume (ml) of sample;

f<sub>1</sub> = 0,052, mass (mg) of CN<sup>-</sup> equivalent to 1 ml of AgNO<sub>3</sub> solution to 0.001 mol/l;

V<sub>2</sub> – volume of Na<sub>2</sub>S<sub>2</sub>O<sub>3</sub> solution used for titration, (ml);

f<sub>1</sub> – factor iodine solution;

f<sub>2</sub> – factor Na<sub>2</sub>S<sub>2</sub>O<sub>3</sub> solution;

N – normality of iodine and thiosulphate solutions;

16,04 – quantity of sulphides corresponding to 1 ml of iodine solution N (mg).

### 2.4. Analysis of chlorides content (Mohr method)

Working method used for the determination of chlorides is described in SR ISO 9297:2001 *This reproduction was made with the consent of Standardization Association of Romania – ASRO nor. LUC/13/161 of 29.07.2013.*

The calculation for the determination of chloride in polluted water, complies SR ISO 9297 :2001 *This reproduction was made with the consent of Standardization Association of Romania – ASRO nor. LUC/13/161 of 29.07.2013:*

$$\rho_{Cl} = \frac{(V_s - V_b) \cdot c \cdot f}{V_a}$$

where:

$\rho_{Cl}$  – chlorides concentration, (mg/ l);

V<sub>a</sub> – volume of sample to be analysed, (ml);

V<sub>b</sub> – volume of AgNO<sub>3</sub> solution used for titration of blank, (ml);

V<sub>c</sub> – volume of AgNO<sub>3</sub> used for titration of sample, (ml);

c – actual concentration of AgNO<sub>3</sub> solution (moli/ l);

f – conversion factor; f = 354453 mg/ mol;

## III. RESULTS AND DISCUSSIONS

### 3.1. The content of pollutants retained by polysaccharides

The wastewater studied contains: 243,808 mg/ l sulphides, 560,866 mg/ l chlorides and 9,152 mg/ l cyanides.

The results of analysis of pollutants are plotted in the figure 1.

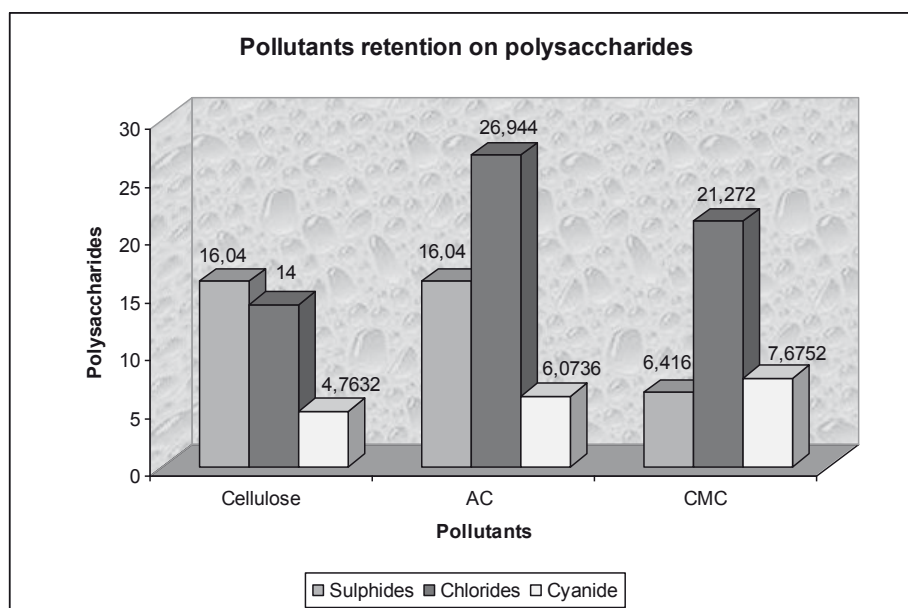


Fig.1 Pollutants retention on polysaccharides

It can be observed that the polysaccharides that retain the largest quantity of sulphides are cellulose and the cellulose acetate (CA) – 16,04 mg/ l. Carboxymethyl cellulose (CMC) retained only 6,416 mg/ l. Taking into account that the substitution degree (DS) of CA is 1,83 [18], it results that unmodified cellulose exists and it influence therefore the retaining of sulphides. The CMC retained sulphides in a low quantity therefore resulting that the group of carboxymethyl unfavors the retaining of sulphides on the surface of the polysaccharide.

The highest content of chlorides was retained by CA 26,944 mg/ l, followed by CMC with 21,272 mg/ l and cellulose that retained only 14,182 mg/ l. Therefore it can be said that the acetate grouping (-CH<sub>2</sub>-CHO) which replaces H from the grouping -OH of

cellulose influences in a positive way the retaining of chlorides and such a bond forms with greater ease between the Cl<sup>-</sup> ion with the grouping -CH<sub>2</sub>-CHO than the grouping -CH<sub>2</sub>-COONa. Because the carboxymethyl grouping (-CH<sub>2</sub>-COONa) contains an extra O, in addition to the acetate grouping and the chlorine combines itself directly with all elements but oxygen [19], we assume that the very absence of this Oxygen determines the retaining of chlorides on CA.

Results obtained showed that cyanides were retained in the highest proportions of CMC – 7,675 mg/l while CA retained 6,073 mg/ l and cellulose only 4,763 mg/ l. Table 1 renders the procentual quantity of pollutants retained by each polysaccharides.

Table 1 Quantity of pollutants retained by polysaccharides, in %

Nr. crt.	Polysaccharide	S <sup>2-</sup> (%)	Cl <sup>-</sup> (%)	CN <sup>-</sup> (%)
1.	Cellulose	6,57	2,53	52,04
2.	AC	6,57	4,8	66,36
3.	CMC	2,63	3,79	83,86

Studies made show that CA retains the greatest quantity of chlorides 4,8%, CMC retains 83,86% cyanides and the greatest

quantity of sulphides is retained by cellulose and CA. Therefore it looks like the acetate grouping (-CH<sub>2</sub>-COH), and the carboxymethyl

grouping (-CH<sub>2</sub>-COOH) that replace the H from the -OH grouping of cellulose present a certain attraction for a certain type of pollutant: chlorides in CA case and cyanides in the case of CMC.

### 3.2. The influence over pH

Studies performed have demonstrated that polysaccharides can influence in a small manor, the pH of polluted water. The quantity of polysaccharide through which filtration was achieved was 3g. Therefore from an initial pH of 8,36 of the polluted water it dropped down to 7,74 when it was filtered through cellulose, 7,98 after filtration through CA and 8,11 when filtered through CMC. Polysaccharides have presented a small sensibility of pH, its values staying the same in a weak base domain.

## IV. CONCLUSIONS

The present article had to purpose of tracking the retaining of pollutants on the surface of various polysaccharides: cellulose, cellulose acetate and carboxymethyl cellulose. Results show that CMC retains 83,86% cyanides, CA retains on its surface sulphides (5,96%) and chlorides (4,8%) and cellulose retains the largest quantity of sulphides (5,96%)

Depollution of waters with the help of polysaccharides has been proved to be efficient through the use of CMC to remove over 80% of cyanide ions. The pH of the polluted water being initially in a weak base domain (8,36) has suffered modifications after the filtration of the water through polysaccharides.

## V. REFERENCES

1. A. Ghadouani and L. X. Coggins, *Science, technology and policy for water pollution control at the watershed scale: Current issues and future challenges*, Physics and Chemistry of the Earth, Parts A/B/C **36** (2011), no. 9-11, 335-341.
2. V. J. Inglezakis and S. G. Pouloupoulos, "1 - air and water pollution," *Adsorption, ion exchange and catalysis*, Elsevier, Amsterdam, 2006, pp. 1-30.
3. D. Richard, D. Schweich, M. A. Al Sawah and C. de Bellefon, *Depollution: A matter of catalyst and reactor design*, Comptes Rendus Chimie **13** (2010), no. 5, 488-493.
4. K. P. Oliveira-Esquerre, A. Kiperstok, M. C. Mattos, E. Cohim, R. Kalid, E. A. Sales and V. M. Pires, *Taking advantage of storm and waste water retention basins as part of water use minimization in industrial sites*, Resources, Conservation and Recycling **55** (2011), no. 3, 316-324.
5. M. r. A. F. Martins, C. A. Amaro, L. S. Souza, R. A. Kalid and A. Kiperstok, *New objective function for data reconciliation in water balance from industrial processes*, Journal of Cleaner Production **18** (2010), no. 12, 1184-1189.
6. A. Azizullah, M. N. K. Khattak, P. Richter and D.-P. HÄöder, *Water pollution in pakistan and its impact on public health - a review*, Environment International **37** (2011), no. 2, 479-497.
7. R. Saliba, H. Gauthier, R. Gauthier and M. Petit-Ramel, *The use of amidoximated cellulose for the removal of metal ions and dyes from waste waters*, Cellulose **9** (2002), no. 2, 183-191.
8. V. K. Gupta and Suhas, *Application of low-cost adsorbents for dye removal - a review*, Journal of Environmental Management **90** (2009), no. 8, 2313-2342.
9. S.-L. Wang and J.-F. Lee, *Reaction mechanism of hexavalent chromium with cellulose*, Chemical Engineering Journal **174** (2011), no. 1, 289-295.
10. L. Wu and S. M. C. Ritchie, *Removal of trichloroethylene from water by cellulose acetate supported bimetallic ni/fe nanoparticles*, Chemosphere **63** (2006), no. 2, 285-292.
11. H. Zhou, J. Han, S. A. Baig and X. Xu, *Dechlorination of 2,4-dichlorophenoxyacetic acid by sodium carboxymethyl cellulose-stabilized pd/fe nanoparticles*, Journal of Hazardous Materials **198** (2011), no. 0, 7-12.
12. S. Chen, Y. Zou, Z. Yan, W. Shen, S. Shi, X. Zhang and H. Wang, *Carboxymethylated-bacterial cellulose for copper and lead ion removal*, Journal of Hazardous Materials **161** (2009), no. 2-3, 1355-1359.

- 13.A. Mersmann, *Purification of waste water in the chemical industry*, Chemical Engineering and Processing: Process Intensification **34** (1995), no. 3, 279-282.
- 14.R. Ganigue, O. Gutierrez, R. Rootsey and Z. Yuan, *Chemical dosing for sulfide control in australia: An industry survey*, Water Research **45** (2011), no. 19, 6564-6574.
- 15.F. Chen, F. Ye, G. Chu, J. Guo and L. Huo, *Synthesis of acrylate modified vinyl chloride and vinyl isobutyl ether copolymers and their properties*, Progress in Organic Coatings **67** (2010), no. 1, 60-65.
16. R. Mudliar, S. S. Umare, D. S. Ramteke and S. R. Wate, *Energy efficient "advanced oxidation process for treatment of cyanide containing automobile industry wastewater*, Journal of Hazardous Materials **164** (2009), no. 2-3, 1474-1479.
17. J. F. Waters and F. J. Millero, *The free proton concentration scale for seawater pH*, Marine Chemistry **149** (2013), no. 0, 8-22.
18. S. D. Farkas Andrea-Eliza, Miron Doru Neculai, Roșu Ana-Maria, Țebrencu Carmen Elena, Nistor Ileana Denisa *Study concerning the utilization of cellulose derivates as development support for microorganisms* Buletinul Institutului Politehnic din Iasi (2012), no. Tomul LVIII (LXII), Fasc. 3, 131-140.
19. C. D. Nenitescu, *Chimie generala*, Editura Didactica si Pedagogica Bucuresti 1985.

## SECURIZAREA HÂRTIEI CU MICROPARTICULE DE TIP METAL/TiO<sub>2</sub>

Dan Buteică<sup>\*)</sup>, Maricica Burlacu<sup>\*\*)</sup>, Constantin Constantin<sup>\*)</sup>

<sup>\*)</sup>Institutul de Cercetare și Proiectare pentru Celuloză și Hârtie, SC Ceprohart SA, B-dul Al. I. Cuza nr.3, Brăila, România

Correspondența autor: SC CEPROHART SA, Braila, Romania, Departament Cercetare, Șos. Vizirului, km.10, [marinela\\_burlacu@yahoo.com](mailto:marinela_burlacu@yahoo.com)

### Rezumat

În această lucrare sunt prezentate rezultatele cercetărilor experimentale la nivel de laborator, pentru sintetizarea unui element de securizare a hârtiei de tip metal/TiO<sub>2</sub> cu proprietăți magnetice și implementarea lui în matricea hârtiei. Lucrarea prezintă metodologia de securizarea a hârtiei, care se desfășoară în două etape. Prima etapă constă în sintetizarea elementului de securizare cu proprietăți magnetice în cadrul SC Ceprohart SA, prin combinarea metodelor de coprecipitare și hidrotermală. Microparticulele metal/TiO<sub>2</sub> obținute conțin 0,9% component dopant și au fost caracterizate prin analize specifice în vederea introducerii în masa hârtiei: compoziție granulometrică, densitate specifică, comportare în mediu apos. A doua etapă prezintă introducerea microparticulelor magnetice sintetizate în masa hârtiei. Rezultatele vor fi discutate pe larg pentru a demonstra posibilitatea utilizării acestor elemente la securizarea hârtiei.

**Cuvinte cheie:** Hârtie securizată, Microparticule, Proprietăți magnetice, Element de securizare

### Abstract

In this paper are presented the first results of experimental researches in CEPROHART's laboratories, for synthesizing of a security element for paper, type Me/TiO<sub>2</sub> with magnetic properties and the introduction of this element in the matrix of the paper. This paper presents the methodology of securing the paper, which occurs on two stages. The first stage consists in synthesizing of security element with magnetic properties inside, by a combination of coprecipitation and hydrothermal methods. The obtained micro particles of Me/TiO<sub>2</sub> contain 0.9% magnetic component and were characterized by specific analyses before to be introduced in the paper. Were checked: the particles size, specific density, behaviour in aqueous medium. The second stage presents the introduction of synthesized magnetic micro particles in the paper. The results demonstrate the possibility to secure the paper by transferring some particular magnetic properties.

**Keywords:** Security paper, Microparticles, Magnetic properties, Security element

## I. INTRODUCERE

Fabricarea hârtiilor securizate constituie un segment important în industria de hârtie nu atât prin ponderea producției, cât datorită gradului de complexitate și importanța strategică pe care o

are. Toate hârtiile de valoare au în comun conceptul de securitate. Acesta este garantat de cele două elemente de bază: hârtia și tiparul, fiecare asigurând în proporții variabile, de la caz la caz, caracteristici de securitate care garantează autenticitatea și descurajează falsificarea.

Tehnologiile și tehnicile de realizare a acestor hârtii securizate sunt ținute în secret de către fabricanți. De aceea, producătorii de astfel de hârtii își realizează un concept propriu pentru fabricarea hârtiilor securizate [1]. În acest sens, s-a realizat un sistem integrat propriu de securizare, care cuprinde tehnologii de fabricare a hârtiilor securizate cu diverse elemente de securizare sau combinații ale acestora, în funcție de cerințe [2].

Obținerea elementului de securizare în cadrul SC Ceprohart SA Brăila reprezintă un avantaj atât din punctul de vedere al sistemului de securizare a documentelor cât și al aspectelor economice. În plus, elementul de securizare de tip metal/TiO<sub>2</sub>, face parte din categoria elementelor introduse în matricea hârtiei, fiind închise sau ascunse, cunoscute numai de către emitent și poate fi detectat numai cu ajutorul unor echipamente speciale, care vor fi studiate [3].

Sinteza și caracterizarea microparticulelor a devenit un domeniu interdisciplinar de mare interes în ultimul deceniu datorită aplicațiilor industriale pe care le prezintă. Microparticulele sunt particule ultrafine cu dimensiuni mai mici de 1 μm. Totuși, definiția microparticulelor variază în funcție de material, domeniu sau aplicație. Etapa de sinteză a microparticulelor este deosebit de importantă deoarece proprietățile microparticulelor depind în mare măsură de dimensiunea acestora [4]. Aceste microparticule prezintă proprietăți chimice, magnetice, optice și mecanice diferite de ale materialului cu granulație convențională [6].

De multă vreme dioxidul de titan este utilizat ca material de umplere la fabricarea hârtiei și sub forma unor acoperiri în cazul hârtiilor cretate [7]. Dioxidul de titan (titanina) și micropulberile pe bază de titanină au atras atenția în ultima vreme nu numai interesului științific dar și aplicațiilor în diverse domenii ale acestora (sănătate, industria sticlei, hârtiei, constructoare de autoturisme, vopselelor, alimentară, cosmetică, protecția mediului și apratură de detecție, etc.). Așadar, prin încorporarea microparticulelor de tip metal /TiO<sub>2</sub> în matricea hârtiei se poate asigura securizarea datorită proprietăților magnetice pe termen lung [6]. Retenția acestora în structura hârtiei se realizează ca și la materialul de umplere prin filtrare pentru microparticulele mai mari și prin fenomene coloidale pentru microparticulele ultrafine [7].

Scopul acestei lucrări a fost investigarea sintezei și caracterizarea micropulberilor de tip metal /TiO<sub>2</sub> utilizând combinarea a două metode, coprecipitare și hidrotermală. Aceste metode oferă o serie de avantaje: necesită manipulare minimă, aparatură simplă, temperatură de sinteză scăzută, materii prime ieftine, control ușor al dimensiunii, precum și omogenitate chimică excelentă a produsului final. Așadar metodele de coprecipitare și hidrotermală sunt indicate în sinteza metal/TiO<sub>2</sub> la temperaturi joase și cu grad de puritate înalt. Principalul dezavantaj constă în faptul că procesul este limitat la soluțiile cationilor cu produși de solubilitate similari [9]. Materiile prime utilizate în mod frecvent sunt: hidroxizi, carbonați, nitrați, sulfați. Este cunoscut faptul că în solide morfologia și microstructura particulelor depind atât de natura precursorului cât și de parametri experimentali ai întregului proces, mai precis dimensiunea particulelor poate fi controlată prin simpla varietate a condițiilor experimentale [6,8].

Prin utilizarea acestui proces este posibilă obținerea micropulberilor de tip M/TiO<sub>2</sub> care pot fi utilizate ca element de securizare cu caracteristici magnetice în securizarea hârtiei.

## II. PARTEA EXPERIMENTALĂ

### 2.1. Materiale

Reactivii utilizați în lucru au fost de puritate analitică și au fost folosiți ca atare fără nici o purificare prealabilă. Soluțiile apoase au fost preparate cu apă distilată.

### 2.2. Prepararea probelor

Microparticulele de tip metal/TiO<sub>2</sub> au fost obținute prin combinarea metodelor coprecipitare – hidrotermală. Metoda de sinteză are loc în două etape: obținerea precursorului prin metoda de coprecipitare și respectiv formarea micropulberilor de tip metal/TiO<sub>2</sub> prin metoda hidrotermală respectiv descompunere termică.

S-a preparat separat o soluție apoasă de sare dopantă corespunzătoare și o suspensie apoasă de TiO<sub>2</sub> dispersată corespunzător. S-au amestecat la temperatura camerei cu un agitator, după care amestecul a fost introdus sub agitare în baia de apă, unde se menține un interval de

temperatură cuprins între 85-95°C. S-a adăugat în picături o soluție atât pentru precipitarea fiecărei specii cationice cât și pentru reglarea pH-ului de reacție (6-8). Precipitatul format a fost filtrat, spălat cu apă distilată și uscat în aer, timp de 24h la 40°C. Micropulberile de tip metal/TiO<sub>2</sub> au fost obținute prin calcinarea precipitatelor uscate într-un creuzet de platină la temperatura de 450°C, timp de 4h, în aer, la presiunea atmosferică. Pulberea obținută are culoarea galben pal.

Sărurile dopante utilizate au fost Fe<sub>2</sub>(SO<sub>4</sub>)<sub>3</sub> • 5H<sub>2</sub>O; Fe(NO<sub>3</sub>)<sub>3</sub> • 9H<sub>2</sub>O și FeCl<sub>3</sub> • 6 H<sub>2</sub>O. Soluția de precipitare (pH 6-8), a fost preparată prin dizolvarea în apă distilată a cantităților adecvate de hidroxid de sodiu, carbonat de sodiu și un adaos de precipitare specific fiecărui element. Descompunerea termică s-a efectuat într-un cuptor de calcinare.

### 2.3. Caracterizare

Micropulberile obținute au fost caracterizate prin analize specifice, în vederea introducerii în structura hârtiei. Se știe că hârtia se obține în mediu apos prin procedeul de încliere în mediu alcalin. Caracterizarea micropulberilor obținute: determinarea densității aparente, compoziție granulometrică prin metoda sedimentării, microscopie de forță atomică în modul non-contact (NCAFM), compactizarea microparticulelor în conformitate cu diagramele Eh - pH. Toate măsurătorile au fost efectuate la temperatura camerei.

### 2.4. Caracterizarea hârtiei securizate cu micropulberi de tip Fe/TiO<sub>2</sub>

Hârtia reprezintă o structură fibroasă care adeseori înglobează și materiale auxiliare și are anumite proprietăți impuse de domeniul de utilizare [5].

Pentru testarea proprietăților de securizarea a hârtiei cu microparticule de TiO<sub>2</sub> dopate cu Fe au fost utilizate foi de laborator, atât pentru caracterizarea hârtiei obținute cât și pentru determinarea proprietăților feromagnetice a componentului Fe/TiO<sub>2</sub>. S-a stabilit rețeta de lucru pentru pasta de hartie (rețeta martor) cu

respectarea următoarelor faze de formare a foilor: destramare, individualizare, macinare, umplere, încliere, retenție, formare și uscare. Microparticulele de Fe /TiO<sub>2</sub> au fost introduse în pasta de hartie ca și material de umplere (rețeta Fe/TiO<sub>2</sub>). Creșterea randamentului de retenție a microparticulelor s-a realizat prin introducerea unor aditivi chimici în pasta de hârtie. Retenția microparticulelor și adaosul de microparticule de Fe/TiO<sub>2</sub> determină: densitatea și distribuția acestora în foaia de hartie și feromagnetismul hârtiei. Foile de laborator au fost caracterizate fizico-mecanic, după păstrarea lor în atmosferă condiționată. Atât fazele de laborator, cât și analizele fizico-mecanice s-au efectuat în conformitate cu normativele în vigoare [10]. Pentru testarea proprietăților feromagnetice a microparticulelor de Fe/TiO<sub>2</sub>, a fost utilizată ca etalon rețeta martor (A<sub>1</sub>) și foi de laborator cu adaos de 0,2g/kg hârtie microparticule de Fe/TiO<sub>2</sub>, cu diferite grade de dopare 0,9; 1,2 și 5% (rețetele A<sub>2</sub>; A<sub>3</sub>; A<sub>4</sub>). Prezența feromagnetismului s-a realizat prin măsurarea curbilor de magnetizare remanentă a foilor de laborator prin metoda probei vibrante (Vibrating Sample Magnetometry - VSM) cu un magnetometru VSM 880 (DMS/ADE Techn., USA) la temperatura camerei (~25 °C). [12].

## III. REZULTATE ȘI DISCUȚII

### 3.1. Caracterizarea microparticulelor de tip Fe/TiO<sub>2</sub>

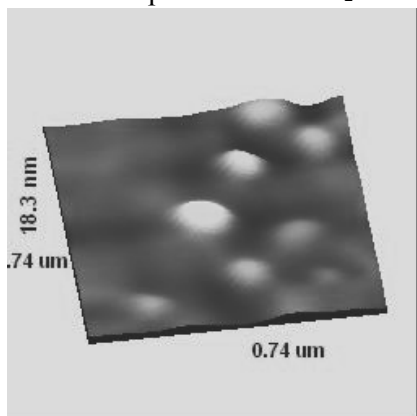
Pentru determinarea compoziției granulometrice s-a utilizat metoda sedimentării după legea lui Stokes (Tabelul 1). Acest studiu constă în măsurarea variației în timp a concentrației în particule a suspensiei la un nivel de referință din vas, prin prelevarea unor probe de suspensie. Concentrația în particule a probelor prelevate se face prin măsurarea masei de granule din probă și raportarea ei la volumul probei. Dimensiunea microparticulelor a fost confirmată de microscopia de forță atomică non-contact (NCAFM) de topografie 3D pentru proba de TiO<sub>2</sub> dopat cu 0,9%Fe (Figura 1).

Tabelul 1 Compoziția granulometrică a microparticulelor Fe/TiO<sub>2</sub>

Nr.crt.	Dimensiunea particulelor	UM	Compoziția Fe/TiO <sub>2</sub>
1.	Particule 0,2μm (200 nm)	%	6,8
2.	Particule 0,5μm (500 nm)	%	41,5
3.	Particule 0,8μm (800 nm)	%	40,3
4.	Particule 1μm (1000 nm)	%	10,8

În tabelul 1 sunt date valorile compoziției granulometrice. Mărimea particulelor se încadrează în limitele specifice particulelor de dimensiuni nano.

Microscopia de forță atomică non-contact a evidențiat, pentru ambele probe de Fe/TiO<sub>2</sub> sub



formă de filme subțiri, existența unor formațiuni aproximativ circulare cu diametru de 0,75μm și respectiv 406 nm. Aceste formațiuni ar putea fi considerate ca fiind datorate unor aglomerări ale ionilor de Fe.

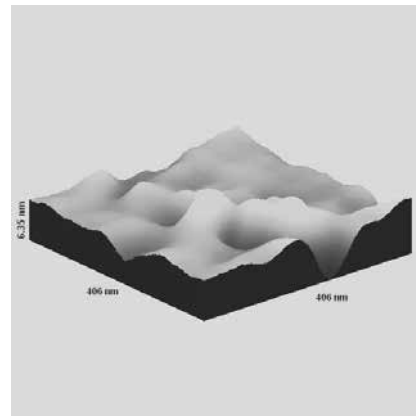


Fig. 1 Imagini NCAFM de topografie 3D pentru proba TiO<sub>2</sub> dopat cu 0,9% Fe

La o mărime redusă, se remarcă formațiuni de agregare din particule foarte fine care însă se dispersează la cea mai mică solicitare. Temperatura redusă a tratamentului termic oprește creșterea cristalitelor generând materiale foarte fine.

Pentru a cunoaște comportarea în suspensie a microparticulelor Fe/TiO<sub>2</sub>, comparativ cu fibrele

celulozice, s-a determinat densitatea acestora exprimată prin raportul dintre greutatea și volumul ocupat de microparticule (t = 20°C). În tabelul 2 se prezintă densitatea microparticulelor Fe/TiO<sub>2</sub>, comparativ cu densitatea hârtiei [9]:

Tabelul 2 Densitatea microparticulelor comparativ cu hârtia

Nr.crt.	Sortiment	Densitatea, kg/m <sup>3</sup>
1.	Microparticule Fe/TiO <sub>2</sub>	800 - 900
2.	Hârtie	700 - 1300

Rezultatele celor două densități sunt apropiate, evidențiindu-se compatibilitatea lor în structura hârtiei. Interesul pentru determinarea modului de stabilitate a microparticulelor Fe/TiO<sub>2</sub> într-un sistem apos (obținerea hârtiei), a condus la investigarea diagramelor Eh-pH (diagrama Pourbaix), pentru TiO<sub>2</sub> – figura 2. Diagramele Eh-pH sunt instrumente utile pentru vizualizarea zonelor de stabilitate ale speciilor de ioni metalici într-o soluție, în funcție de activitatea ionilor de hidrogen (pH) și activitatea de electroni (Eh), în medii naturale. Aceste diagrame pot fi folosite pentru a indica modul în care diferiți ioni metalici pot fi separați unul de altul prin efectuarea de modificări în aceste variabile (după Nordstrom and Munez, 1985).

În diagramă liniile punctate reprezintă zone de stabilitate a apei, adică zona de relevanță pentru mediu apos. Linia superioară (b) reprezintă echilibrul dintre apă și oxigen. Dacă soluția are potențialul crescut peste linia punctată, apa este oxidată cu formarea ionilor de oxigen și hidrogen. Linia inferioară (a) indică, cazul în care ionii de hidrogen într-o soluție sunt reduși la gaz de hidrogen.

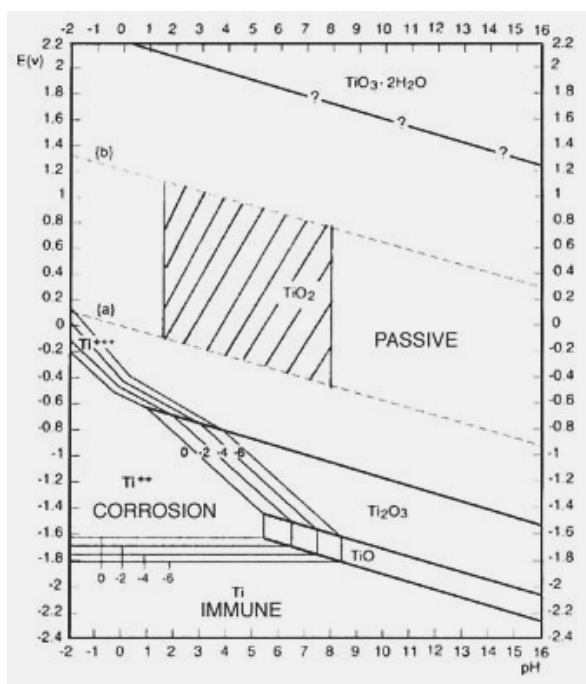


Fig. 2 Diagrama de stabilitate Eh-pH pentru  $TiO_2$

În figura 2 diagrama Eh-pH, confirmă stabilitatea dioxidului de titan dopat cu Fe în intervalul de pH: 2 - 8 (zona hășurată). Efectul „inactiv”, este dat de formarea stratului de oxid în jurul metalului, strat care acoperă suprafața metalului, asigurând protecția. Se poate observa că intervalul de pH: 2 - 8 coincide cu cel de obtinere a hârtiei prin procedeul neutru/slab alcalin (pH-ul pastei de hartie este cuprins între 6,5 și 8,5).

### 3.2. Obținerea hârtie cu microparticule Fe/TiO<sub>2</sub>

În urma testelor de laborator s-a stabilit rețeta de lucru. Aceasta conține material fibros și

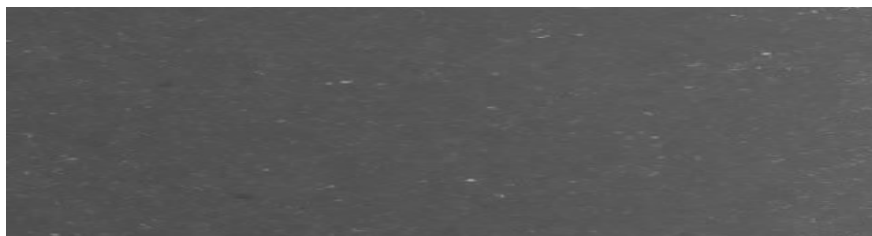


Fig. 3 Distribuția microparticulelor Fe/TiO<sub>2</sub> în foaia de hârtie

#### 3.2.1 Caracterizarea fizico-mecanică a foilor de laborator cu microparticule Fe/TiO<sub>2</sub>

Valorile determinate pentru caracteristicile

auxiliar în anumite proporții, specifice unei rețete de fabricație a hârtiilor securizate. În plus, a fost introdus în procesul de măcinare un aditiv chimic pentru facilitarea reținerii materialului fin - microparticulelor de tip Fe/TiO<sub>2</sub> în masa hârtiei. Rețeta martor este:

- conținut de celuloză sulfat înălbită din rășinoase – 20 – 40 %
- conținut de celuloză sulfat înălbită din foioase – 60 – 80 %.

Față de acest amestec fibros se adaugă:

- material de umplere (carbonat de calciu) – 8 - 20 %;
- agent de încheiere (alchil dimercetone) – 1 - 2 %;
- agent de retenție (poliamin-poliamid-epiclorhidrină) – 0,5 - 1,5 %.

În urma experimentărilor s-a selecționat rețeta cu adaosul de 0,2g / kg hârtie, microparticule Fe/TiO<sub>2</sub> (figura 3). Cantitatea de microparticule a fost introdusă în omogenizator, pentru dispersarea cât mai uniformă în pastă și respectarea ordinii operațiilor de preparare a pastei de hârtie. În figura 3 se ilustrează prezența și distribuția randomizată a microparticulelor de Fe/TiO<sub>2</sub>, care se manifestă prin apariția punctelor fluorescente (datorate materialului dopant) pe suprafața hârtiei, expusă acțiunii radiațiilor ultraviolete cu lungimea de undă de 360 nm.

fizico-mecanice ale foilor de hârtie (tabelul 3) conduc la susținerea următoarelor afirmații:

Tabelul 3 Caracteristicile fizico-mecanice ale foilor de hârtie obținute în laborator

Nr. crt.	Caracteristica	UM	Metoda de lucru	Rețeta martor	Rețeta Fe/TiO <sub>2</sub>
1	Gramaj	g/mp	SR EN ISO 536:2012	80,4	80,1
2	Grosime	μm	SR EN ISO 534:2012	116	115
3	Densitate aparentă	g/cm <sup>3</sup>	SR EN ISO 534:2012	0,69	0,70
4	Sarcina de rupere	N	SR EN ISO1924-2:2009	77,9	78,7
5	Lungimea de rupere	m	SR EN ISO1924-2:2009	6.584	6.681
6	Număr duble îndoiri	nr.	SR ISO 5626:1996	894	924
7	Rezistența la plesnire	kPa	SR ISO 2758:2004	387	390
8	Rezistența la sfâșiere	mN	SR EN ISO 1974: 2012	610	630
9	Porozitatea Gurley, F/S	s	ISO 5636-5: 2003	60/57	62/59
10	Conținut de cenușă	%	SR ISO 2144:1999	9,64	9,65

- adaosul de microparticule în compoziția foilor de laborator nu modifică semnificativ grosimea și densitatea acestora. De asemenea, microparticulele cu dimensiuni mai mici decât a fibrelor celulozice, nu contribuie la deformarea construcției matricei celulozice. Această constatare este susținută și de rezultatele obținute la determinările de porozitate care oscilează foarte aproape de valorile constatate la proba martor.
- tot din aceleași motive (neafectarea structurii fibroase celulozice), nu s-au observat diferențe semnificative nici în cazul caracteristicilor de rezistență – lungimea de rupere, număr de duble îndoiri, sfâșiere sau plesnire.

Prin urmare, rezultatele prezentate în tabelul 3 arată că adaosul de microparticule folosit, 0,2g/kg hârtie, nu are o influență semnificativă asupra principalelor caracteristici fizico-mecanice ale foilor de laborator.

### 3.2.2. Caracterizarea magnetică a foilor de laborator

Studiul proprietăților magnetice evidențiază prezența dopantului (Fe - 0,9; 1,2; 5%), în structura TiO<sub>2</sub> și are ca rezultat utilizarea în procesul de securizare a hârtiei. Probele preliminare evidențiază prezența magnetizației masice în foile de laborator cu adaos de 0,2g/kg hârtie.

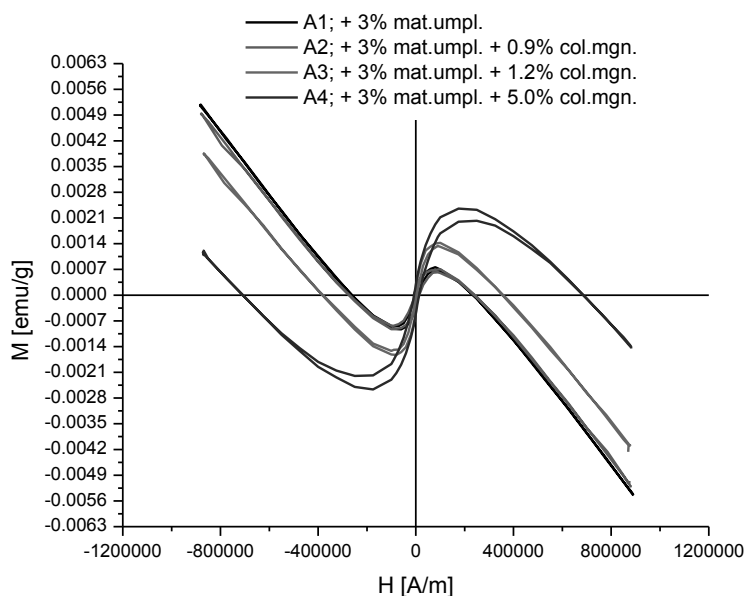


Fig. 4 Curbe magnetizație remanentă: A1 – probă martor; A2 – Fe/TiO<sub>2</sub> - 0,9%; A3 - Fe/TiO<sub>2</sub> – 1,2%; A4 – Fe/TiO<sub>2</sub> – 5%.

În figura 4 sunt prezentate curbele de magnetizare masică (emu/g hârtie) funcție de câmpul magnetic aplicat (A/m) pentru probele de hârtie cu microparticule de Fe/TiO<sub>2</sub> (A1-A4). Magnetizația masică prezintă o creștere proporțională cu creșterea concentrației de Fe, de la 0,0009 emu/g hârtie pentru o concentrație de 0,9% și 0,0017 emu/g hârtie pentru o concentrație de 1,2% până la 0,0027 emu/g hârtie pentru o concentrație de 5%. Existența magnetizării masice indică prezența unui material feromagnetic în structura probelor de hârtie, cel mai probabil fier [12].

Având în vedere valorile crescătoare și precizia aparatului de măsură, precum și adaosul destul de mic în foaia de hârtie (200g/t de hârtie – microparticule Fe/TiO<sub>2</sub>), se poate considera că fenomenul feromagnetic este prezent în hârtie. Așadar, rezultatele măsurătorilor demonstrează că:

- se poate mări adaosul de microparticule Fe/TiO<sub>2</sub>- 0,9%, în masa hârtiei până la obținerea magnetizației remanente dorite, fără ca hârtia să își modifice gradul de alb;
- în același timp se impune stabilirea randamentului de retenție a amestecului celuloză/microparticule Fe/TiO<sub>2</sub>.

#### IV. CONCLUZII

1. Oxizii magnetici pe bază de TiO<sub>2</sub> dopat cu Fe au primit un mare interes în securizarea hârtiei datorită proprietăților feromagnetice. Originea feromagnetismului este puternic dependentă de concentrația și distribuția dopajului.
2. Microparticulele de tip Fe/TiO<sub>2</sub> au fost obținute relativ ușor prin combinarea metodelor umede coprecipitare și hidrotermală.
3. Condițiile optime de sinteză au fost: 0,9% - 5% gr. cantitate de element dopant, temperatura de calcinare 450°C și timp de calcinare 4h. În comparație cu metoda sol-gel, în procesul de sinteză utilizat se folosesc materii prime ieftine și nu este necesară apelarea la solvenți organici. De aceea, combinarea metodelor umede coprecipitare / hidrotermală reprezintă o alternativă pentru realizarea la scară pilot a microparticulelor Fe/TiO<sub>2</sub>.
4. În urma analizelor efectuate s-a confirmat prezența dopantului în structura dioxidului de titan, mărimea particulelor de tip nano, precum și proprietățile feromagnetice.
5. Rezultatele experimentărilor preliminare demonstrează că hârtia poate fi securizată cu

microparticule de tip Fe/ TiO<sub>2</sub>, urmând ca problemele care au apărut pe parcursul desfășurării cercetării să fie rezolvate în cadrul experimentărilor viitoare.

6. Susținerea unui sistem integrat de securitate a hârtiei presupune descoperirea sistemelor de detecție magnetică potrivite. Acestea sunt destinate identificării contrafacțiilor în domeniul documentelor de valoare. Acuratețea sistemelor depinde de utilizarea dispozitivelor mici, sensibile din punct de vedere magnetic, capabile să valideze microparticulele Fe/TiO<sub>2</sub> și construite special pentru acestea.

#### V. BIBLIOGRAFIE

1. Stanciu C., *Machinery and equipment for industrial and specialty paper making*. Ed. Didactică și Pedagogică, 10, (2005);
2. Stanciu C., *Security – production, application and protection against forgery and counterfeit*, Ed. Ceprohart, 5. (2003);
3. Stanciu C., *Paper protection – basic rules of security paper protection philosophy*, National Workshop „Securities – surface characteristics and security characteristics”, Brăila, (5 July 2007);
4. Jongnam Park, Kwangjin An, Yosun Hwang, Je-Geun Park, Han-Jin Noh, Jae-Young Kim, Jae-Hoon Park, Nong-Moon Hwang and Taeghwan Hyeon - *Ultra-large-scale syntheses of monodisperse nanocrystals*, Nature Materials 3, 891 - 895 (2004);
5. Diaconescu, V., Obrocea, P., *Tehnologia celulozei și hârtiei, vol II- Tehnologia hârtiei*, Ed. Tehnică, București, p.122, 172, 204, 1976;
6. Maruo Hosocova, Kiyoshi Nogi, Makio Naito, Toyokazo Zokoyama – *Nanoparticle Technology Handbook*, Elsevier Science, New York, 2007, p. 5, 10, 42;
7. Obrocea, P., Bobu, E., *Bazele fabricării hârtiei, vol.I*, Iași 1993, p. 18, 20, 46, 119, 189;
8. L.F. Liu, J.F. Kang, Y. Wang, H. Tang, L.G. Kong, L. Sun, X. Zhang, R.Q. Han, *Journal of Magnetism and Magnetic Materials* 308, p: 85–89, (2007);

9. *Manualul inginerului chimist*, Ed. Tehnică, București, 1972 p. 744-1187;
10. Institutul Român de Standardizare, SC Ceprohart SA Brăila, Celuloze, hârtie și cartoane, *Culegere de standarde, Terminologie, metode de analiză și încercări*, vol. I, II, 1997.
11. *Atlas of Eh-pH diagrams*. National Institute of Advanced Industrial, de N. Takeno, 2005;
12. Vlad Socoliuc: *Raport de analiză* - Laboratorul de Lichide Magnetice al Academiei Române – Filiala Timișoara, Centrul de Cercetari Tehnice Fundamentale și Avansate.

## BOOK REVIEW

## LIGNOCELLULOSE BIOREFINERIES

**Jean-Luc Wertz and Olivier Bedue, EPFL Press, 2013, 527 pp., ISBN 978-2-940222-68-1 (PFL Press); ISBN 978-1-4665-7306-2 (CRC Press)**

It is known that biomass represents a renewable resource assured by the biosynthesis process. According to the definition, biomass is any organic matter that is available on a renewable basis, including dedicated energy crops and tree, agricultural food and feed crop residues, aquatic plants, wood and wood residues, animal wastes and other materials. Due to its composition, from biomass we can obtain, by complex processing, almost all chemicals resulted from petrochemistry. That is why, considering the exhausting fossil resources, it is expected that in the future biomass will satisfy all our needs. This comprehensive book covers practically all aspects, from the possibilities to increase the accessibility of raw materials to their conversion to different chemicals and energy sources.

In chapter 1 – **Introduction** – a review is presented concerning aspects of climate change (the earth's energy budget and greenhouse effect, carbon cycle), biomass and its conversion to products, biorefineries and the life cycle assessment, which are connected with the structure of the book.

In chapter 2 – **Photosynthesis, the ultimate beginning for biorefineries** – the elements involved in photosynthesis are analyzed (chloroplasts, photosynthetic pigments and antenna complexes), along with the stage of photosynthesis (light reactions and dark reactions) with examples of efficiency of the process in the case of different plants.

Chapter 3 is dedicated to the **Futures of first generation biorefineries**. In this context, the possibilities to use sugar, starch and vegetable oil feedstocks are known. By using these raw materials, it was possible to obtain the first generation of biofuels (bioethanol, ethyl tert-butyl ether), biodiesel, biogas and other liquid biofuels. At the same time, some examples of biobased chemicals and materials from food plant are mentioned. To develop industrial production, the important aspects of life cycle assessment and sustainability are considered.

As mentioned above, biomass processing has to be discussed from the composition viewpoint. Therefore, in the following chapters the main

structural components of biomass are presented, along with their biological and chemical stability.

Thus in chapter 4 – **Cellulose, the predominant constituent of biomass** – information concerning the structure (at the molecular, supramolecular and morphological levels), biosynthesis (enzymatic polymerization of glucose in bacteria and plants), properties (mechanical and physical) and applications (in paper and man-made fibers production), is offered.

Chapter 5 – **Enzymatic and non-biological degradation of cellulose** – demonstrates that the structural complexity of cellulose represents a major problem in its degradation to obtain precursors, which can be used in obtaining biofuels and chemicals. The enzymatic degradation could be applied on a large scale by improving biochemical systems to access and hydrolyze cellulose, yields in the fermentation steps and optimization of biomass pretreatment conditions. The biodegradation of cellulose can be carried out using enzymes produced by bacteria and fungi to convert the insoluble substrate to soluble sugars. Therefore, important subjects are represented by producing cellulases and understanding the mechanisms of cellulose degradation. In this chapter, detailed information is provided on the composition of the enzymatic complex for different microorganisms (fungi and bacteria), mechanism, kinetic and activity. Despite its chemical stability, cellulose can be degraded non-enzymatically by acids, oxidants, thermal energy, mechanical means and radiation. From the large amount of information existing in this field, the authors retained the main aspects concerning the mechanism and products that can be obtained following degradation, and underline the physical and chemical ways in biomass pretreatment.

**Hemicelluloses and lignin, other key constituents of biomass** are presented in chapter 6. Hemicelluloses represent one of the three major components of biomass and are present under various forms in all green plants. The structure and occurrence, biosynthesis, their role in the cell wall, properties and applications are described in this chapter. Lignin is a complex phenolic polymer that imparts strength, rigidity and hydrophobicity to plant secondary cell walls. The structure and

distribution of lignin are analyzed along with its biosynthesis process and the interaction with other components of the cell wall. Although lignin is extremely recalcitrant to degradation, this process is possible by the action of basidiomycetes white-rot fungi, which are able to degrade lignin efficiently using a combination of extracellular lignolytic enzymes, organic acids, mediators and accessory enzymes. This process is described in detail with a presentation of the enzymes that are involved in the degradation of lignin. At the same time, it is mentioned that lignin can represent a polymer with both low- and high-value applications, which are expected to become enormous over the upcoming decades. Many structural and compositional factors hinder the enzymatic digestibility of cellulose present in lignocellulosic biomass.

That is why, pretreatments are necessary, as presented in chapter 7 – **Pretreatments of lignocellulosic biomass**. The goal of any pretreatment is to alter the structure of the lignocellulosic materials to make cellulose and hemicelluloses more accessible to the enzymes that convert polysaccharides into fermentable sugars. The pretreatment methods can be divided in the following categories: physical pretreatments of biomass involving milling and high-energy radiation, chemical methods involving liquid hot water, dilute and concentrated acids, alkali, organic solvent, oxidizing agents and ionic liquids, physico-chemical methods involving steam explosion, ammonia pretreatments, CO<sub>2</sub> explosion, mechanical/alkaline pretreatments and biological methods. As a conclusion, the authors summarize that biomass pretreatment remains the bottleneck in the processing of lignocellulosics for biofuels and other biobased products. Although some pretreatment methods show apparent advantages, it is unlikely that one method will become the method of choice for the diversity of biomass feedstocks, which can react differently to a given technology. Lignocellulosic biomass feedstock can be converted to biofuels and chemicals through multiple processes. Conversion technologies fall into two main categories: biochemical conversion and thermochemical conversion.

**Biochemical conversion of biomass** represents the subject of chapter 8. The main steps of this process are represented by pretreatment, hydrolysis and fermentation. Pretreatment can fractionate the cellulose, hemicelluloses and lignin components. For carrying out hydrolysis and fermentation, there are different strategies including separate enzymatic hydrolysis and fermentation, simultaneous saccharification and

fermentation, simultaneous saccharification and co-fermentation and consolidated bioprocessing. Along with ethanol, fermentation allows obtaining lactic and succinic acids, important precursors for other bioproducts. In this chapter, the life cycle assessments are discussed and the results obtained by different companies at different levels are presented, including not only ethanol, but also other chemicals. The chapter also offers some examples concerning lignin uses, which can significantly increase the competitiveness of cellulosic ethanol technology.

The thermochemical platform for conversion of lignocellulosic biomass aims to efficiently produce biofuels and chemicals via processes that use heat and chemistry (chapter 9 – **Thermochemical conversion of lignocellulosic biomass**). Primary routes for biomass thermal conversion are the following: combustion, gasification and pyrolysis. Different variants are analyzed, along with life cycle assessments. At the same time, in this chapter case studies are presented and some information concerning the technology used, products and technology scale is systematized.

The last chapter is dedicated to **Perspectives**. It is mentioned that the biorefineries were identified as a potential solution to mitigate the threat of climate change and to meet the growing demand for energy and non-energy products. The comparison between first generation and second generation biorefineries, which generated the “food versus fuel” debate, demonstrates that the latter variant, which involves the use of lignocellulosic feedstocks, such as organic wastes and residues, and their conversion into energy and chemicals, has multiple advantages. At present, there are representative programs both in the USA and EU stimulating the improving of both feedstock yield and composition of biomass (plant genomics, breeding programs and the chemical engineering of desirable traits – drought resistance, photo-cycle intensity, cold tolerance, sugar composition C5/C6) and processes (biochemical platform and thermochemical platform). Developing these technologies can allow obtaining fuels and chemicals according to the principles of sustainability.

This book represents a valuable instrument to serve as a reference for policy makers, industry leaders, professors, teachers, scientists, engineers and students who are involved in promoting the bioeconomy.

*Valentin I. Popa*

*Gheorghe Asachi Technical University, Iasi*